

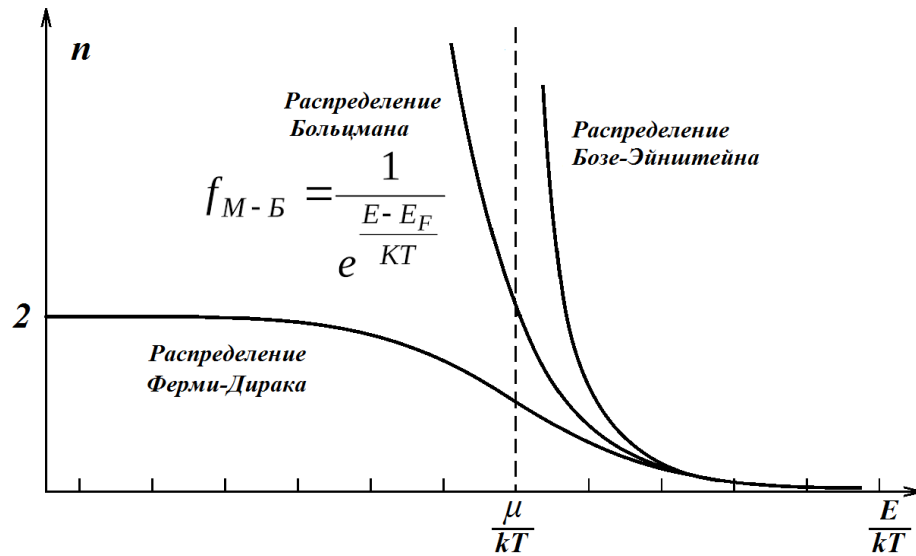
Введение в физику сверхпроводимости

Виталий Валериевич Больгинов

Лекция 12

Теория БКШ, куперовские пары, энергетическая щель, критическая температура, спектр квазичастичных возбуждений, туннельные эффекты в сверхпроводниках.

Статистика.



Любой металлический образец содержит огромное количество электронов.

Механическое рассмотрение такого ансамбля невозможно (даже без учета квантово-механических свойств).

Статистическое рассмотрение: газ свободных электронов.

Распределение Максвела-Больцмана:

$$f_{M-B} = \frac{1}{e^{\frac{E-E_F}{KT}}}$$

Квантовая механика:

тождественность частиц, учет спина

Целый спин (бозоны):

статистика Бозе-Эйнштейна, бозе конденсация.

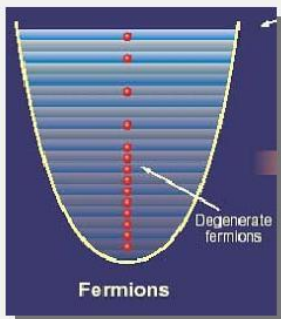
Полуцелый спин:

статистика Ферми-Дирака, принцип запрета, Фермиевская ступень.

Статистика Ферми-Дирака

$$f(E) = \frac{1}{e^{\frac{E-\mu}{kT}} + 1}$$

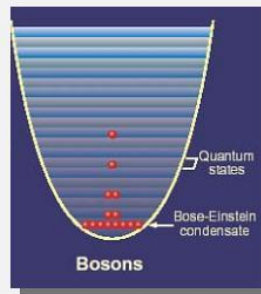
Спин - полуцелый



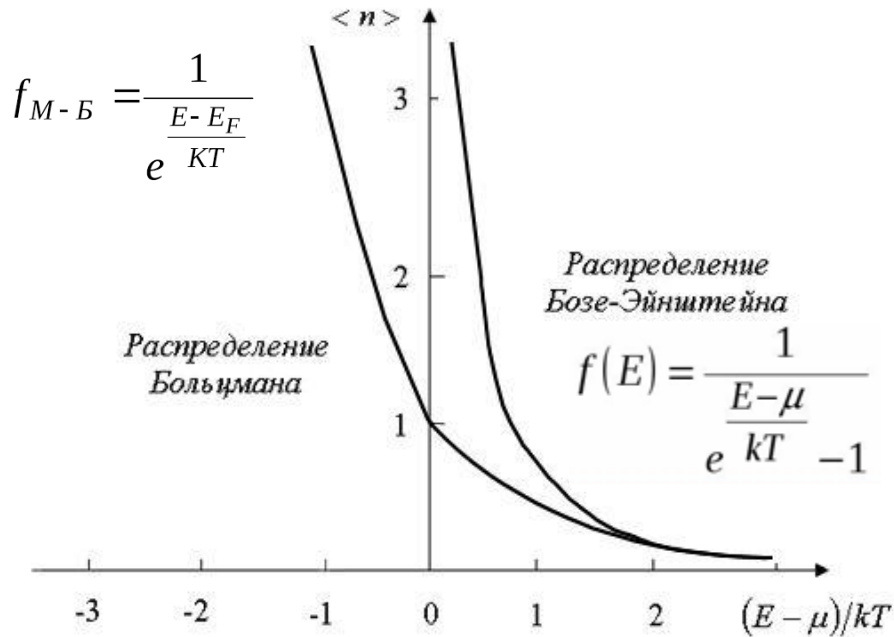
Статистика Бозе-Эйнштейна

$$f(E) = \frac{1}{e^{\frac{E-\mu}{kT}} - 1}$$

Спин - целый



Статистика Бозе-Эйнштейна. Бозоны.



Распределение Максвела-Больцмана:

Экспоненциальный рост числа частиц с энергией меньше μ .

Распределение Бозе-Эйнштейна:

Отличается знаменателем.

Не может быть состояний с энергией меньше μ .

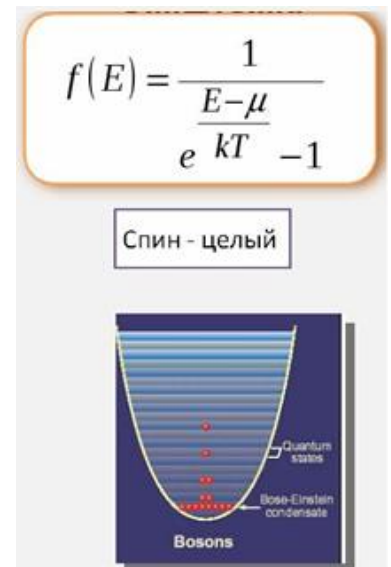
Числа заполнения расходятся при $E \rightarrow \mu$.

Существует явление Бозе-конденсации и *критическая температура*.

$$T_c = \left(\frac{n}{\zeta(3/2)} \right)^{2/3} \frac{h^2}{2\pi m k_B},$$

- Бозе-конденсация является фазовым переходом 2 рода (происходит скачок теплоемкости).
- Наличие критической температуры и энергетическая выгодность делает сверхпроводящий переход *похожим* на бозе-конденсацию. (Лондон, 1938)

Можно ли рассматривать сверхпроводимость как Бозе конденсацию электронного газа?



Статистика.

Электроны имеют **полуцелый спин $1/2$** , поэтому подчиняются статистике Ферми-Дирака.

Распределение Ферми-Дирака:

Отличается знаменателем.

Числа заполнения не могут быть больше 1 (или 2):
принцип запрета.

Экспоненциально мало состояний с большой энергией:
вырожденный Ферми-газ при $T = 0$,
фермиевская ступень.

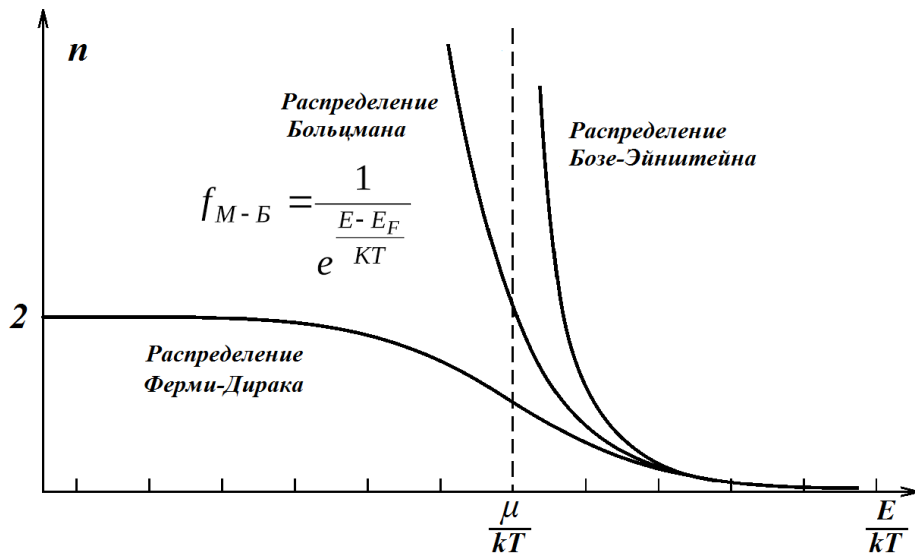
Явление Бозе-конденсации отсутствует.

Можно ли построить из электронов бозон?

• Комплекс из 2 электронов является бозоном.

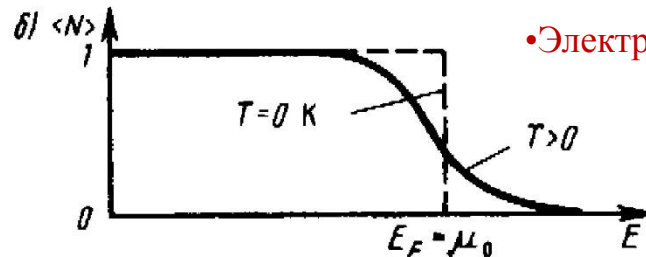
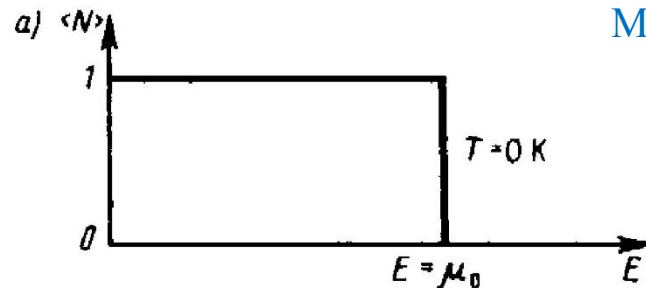
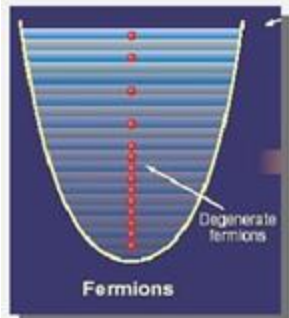
• Электроны отталкиваются посредством кулоновского взаимодействия.

Как быть?



$$f(E) = \frac{1}{e^{\frac{E-\mu}{kT}} + 1}$$

Спин - полуцелый



Квантование потока в теории Г-Л

Получили для разности плотностей энергии Гиббса:

$$g_s(r) - g_n = \alpha |\Psi|^2(r) + (\beta/2) |\Psi|^4(r) - BH + B^2/(2\mu_0) + [1/(2m^*)] | -i\hbar \nabla \Psi - qA \Psi |^2 \quad (3.40)$$

Уравнения Г-Л

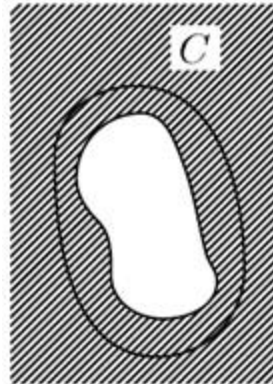
$$\alpha \Psi + \beta \Psi |\Psi|^2 + (1/2m^*)(i\hbar \nabla + qA)^2 \Psi = 0;$$

$$(1/\mu_0) \text{rot rot } A = -(i\hbar e/m^*)(\Psi^* \nabla \Psi - \Psi \nabla \Psi^*) - (q^2/2m) |\Psi|^2 A$$

Обобщенное уравнение
Лондонов

$$\hbar \nabla \theta = m^* \mathbf{v}_s + q\mathbf{A}$$

$$\hbar \nabla \theta = 2m \mathbf{v}_s + \frac{2e}{c} \mathbf{A}$$



Квантование потока

$$\Phi_0 = h/q \quad (= h/e)$$

$$\Phi_0 = h/2e$$

Теория Г-Л предсказывает в 2 раза меньшее значение кванта потока (1961).

Куперовские пары

Сверхтекучесть электронной жидкости

Построение теории сверхпроводимости не требует рассмотрения

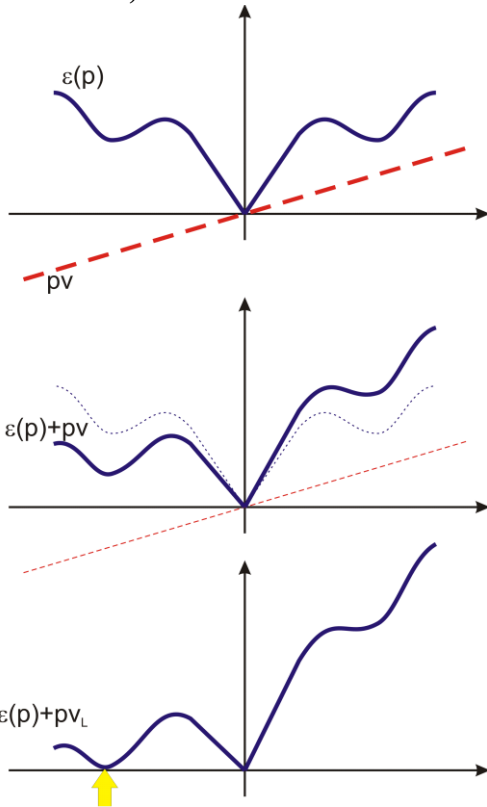
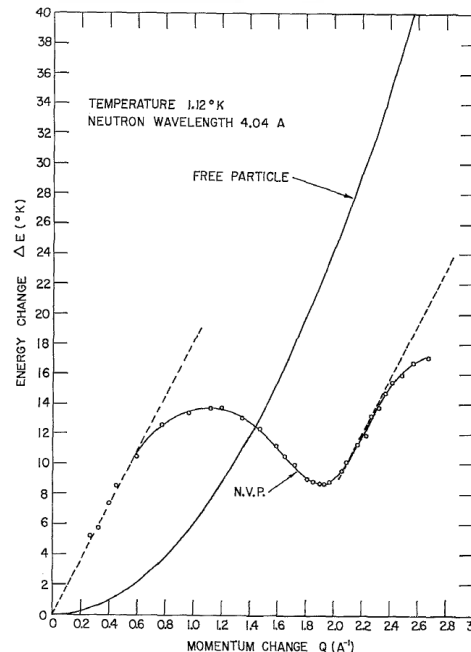
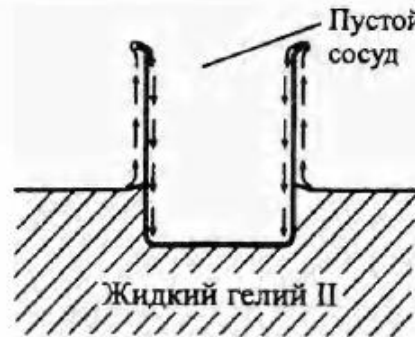
Бозе-конденсации куперовских пар:

аналогия со сверхтекучестью гелия.

Сверхтекучесть гелия: отсутствие диссипации энергии, критическая температура,

фазовый переход 2 рода.

бозоны,



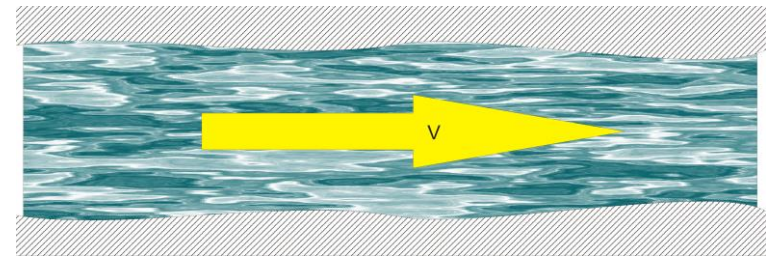
Что такое **возбуждения** в жидком гелии?

Что такое **вязкость** в жидком гелии?

Каков **спектр** возбуждения в потоке гелия?

$$E = \sum_i \frac{p_i^2}{2m} = \sum_i \frac{(\vec{p}_{i0} + m\vec{v})^2}{2m} = \sum_i \frac{p_{i0}^2}{2m} + \vec{v} \cdot \sum_i \vec{p}_{i0} + \sum_i \frac{mv^2}{2} =$$

$$O \rightarrow O' \rightarrow O \quad = \varepsilon + \vec{p} \cdot \vec{v} + E_0 + \frac{Mv^2}{2}$$



Критерий Ландау: $v > \frac{\varepsilon(p)}{p}$

Наличие щели: $E = \Delta + \hbar^2 \frac{(k - k_0)^2}{2m}$

Квадратичный спектр: $v_{\text{крит}} = 0$

Сверхтекучесть электронной жидкости

Построение теории сверхпроводимости не требует рассмотрения

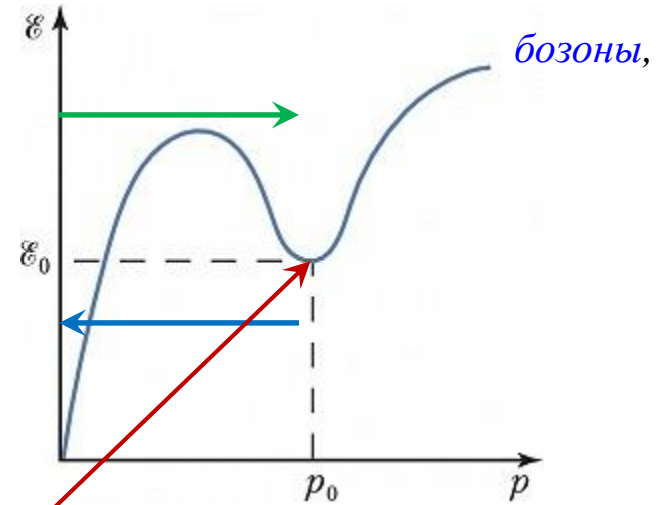
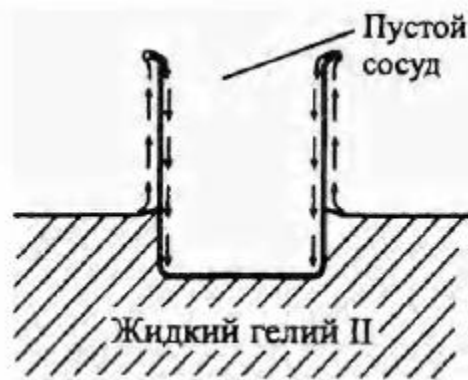
Бозе-конденсации куперовских пар:

аналогия со сверхтекучестью гелия.

Сверхтекучесть гелия: отсутствие диссипации энергии, критическая температура,

Критерий сверхтекучести: $O \rightarrow O' \rightarrow O$

фазовый переход 2 рода.



$$\varepsilon(p - m\mathbf{V}) < 0 \longrightarrow \varepsilon(p) - pV < 0$$

$$V > \min(\varepsilon/p) ? 0$$

Сверхпроводящий конденсат
Поиск механизмов
электрон-электронного притяжения.

Есть щель – есть сверхпроводимость. Наличие щели?

Теплоемкость

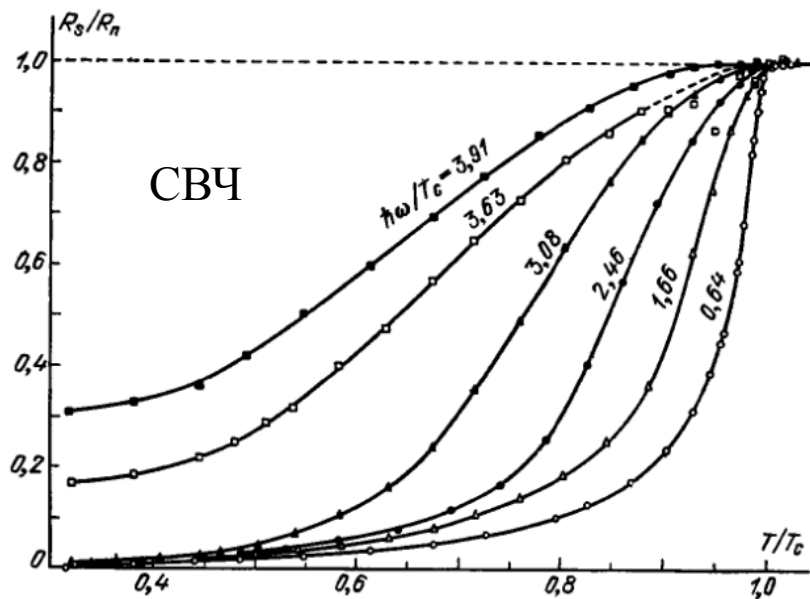
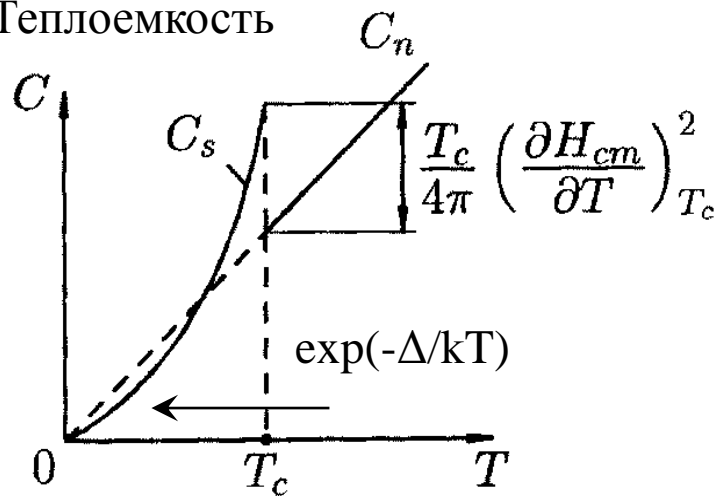
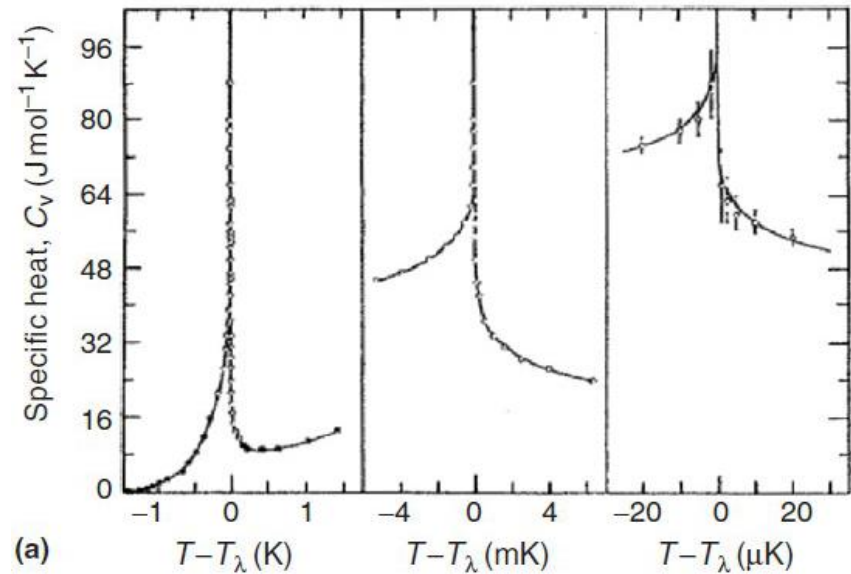


Рис. 19.4

Энергетическая щель



Почему возникает энергетическая щель?

Сверхпроводящий конденсат

Как может происходить электрон-электронное притяжение?

Притяжение через ионную среду

Электроны – заряженные частицы, которые отталкиваются по закону Кулона.

Для образования комплексов требуется «притягивающее» взаимодействие.

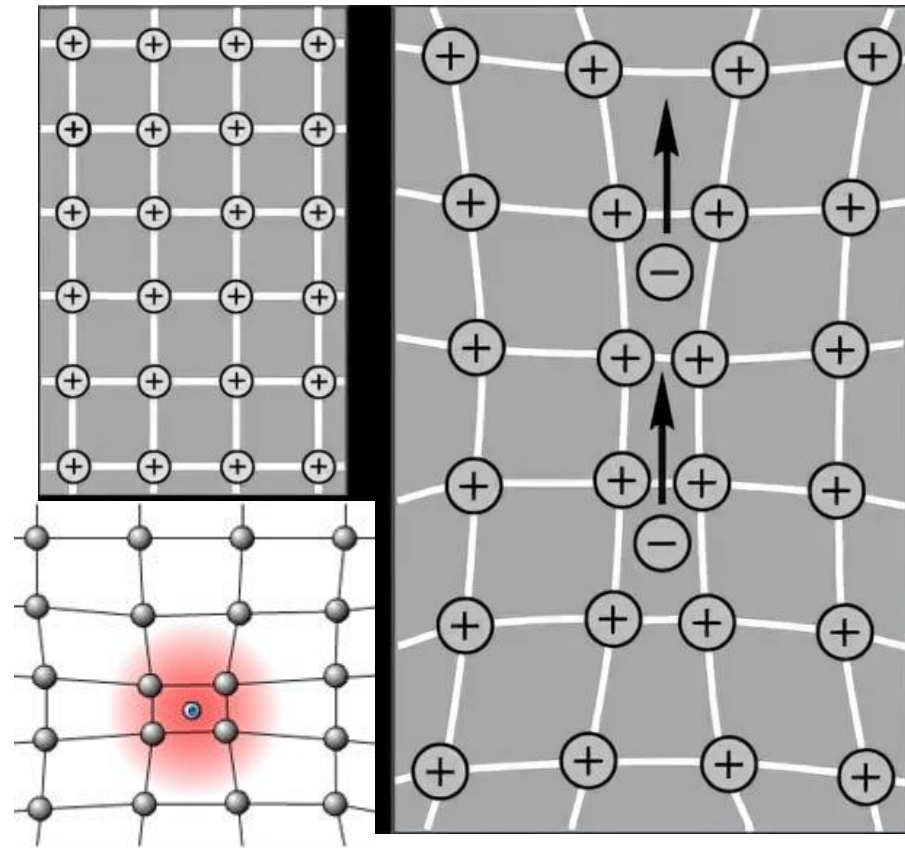
В основе механизма образования «куперовских пар», лежит притяжение электронов, посредством электрон-фононного взаимодействия.

$$m_p = 1840 m_e$$
$$M_{\text{Hg}} \sim 200 \text{ а.е.м.} \sim 400\,000 m_e$$

???

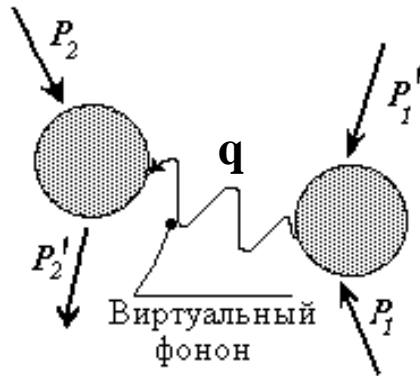
Модель ионного «желе»:

$$\frac{1}{\epsilon(\mathbf{q}, \omega)} = \frac{q^2}{k_s^2 + q^2} \left(1 + \frac{\omega_q^2}{\omega^2 - \omega_q^2} \right)$$



Возможно понятнее рассуждать «от фононов».

Фонон.

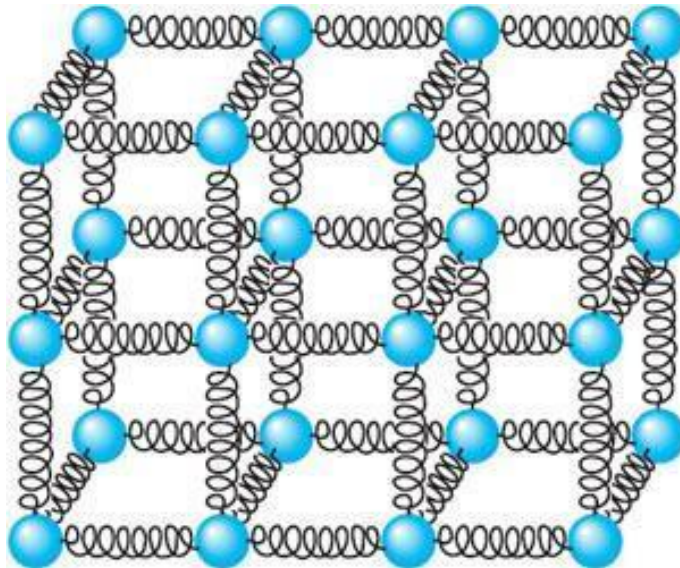


В основе механизма образования “куперовских пар”, лежит притяжение электронов, посредством обмена **виртуальными** фононами.



Фонон – квант **волн** упругих колебаний атомов кристаллической ячейки.

Предельная частота колебаний
 $\hbar\omega_D = k\Theta_D \sim 10-100 T_c$



Фонон – **делокализованная** волна.
 $\exp(i\mathbf{q}\mathbf{r} + i\omega t)$

Частота колебаний
 $\omega = (k / M)^{1/2}$

$$\omega * M^{1/2} = k = \text{const}$$

Электрон-фононное взаимодействие

Изотопический эффект в сверхпроводниках

В основе механизма образования “куперовских пар”, лежит притяжение электронов, посредством электрон-фононного взаимодействия.

Участие фононов в сверхпроводимости доказывает **изотопический эффект** (E.Maxwell; C.A.Reynolds; 1950 г.): температура сверхпроводящего перехода T_c зависит от массы m атомов сверхпроводящего металла. В экспериментах использовались разные изотопы **олова** и **ртути** и была обнаружена зависимость:

$$T_c \sim m^{-1/2}.$$

Ртуть: $M = 199.5 \rightarrow 203.4$ а.е.м., $T_c = 4,185 \rightarrow 4,14$ К

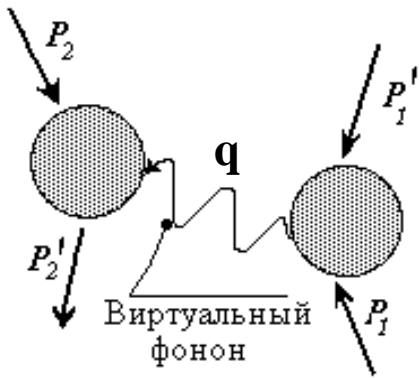
Изменение массы атомов приводит к изменениям характерной частоты колебаний кристаллической решетки ω_D (дебаевской частоты)

$$\omega_D \sim m^{-1/2}$$

(частота осциллятора с упругой константой k есть $(k/m)^{1/2}$).

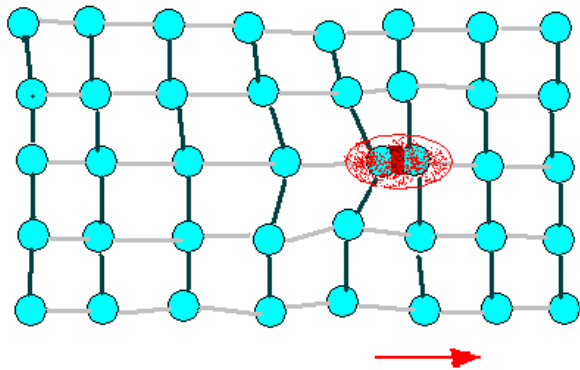
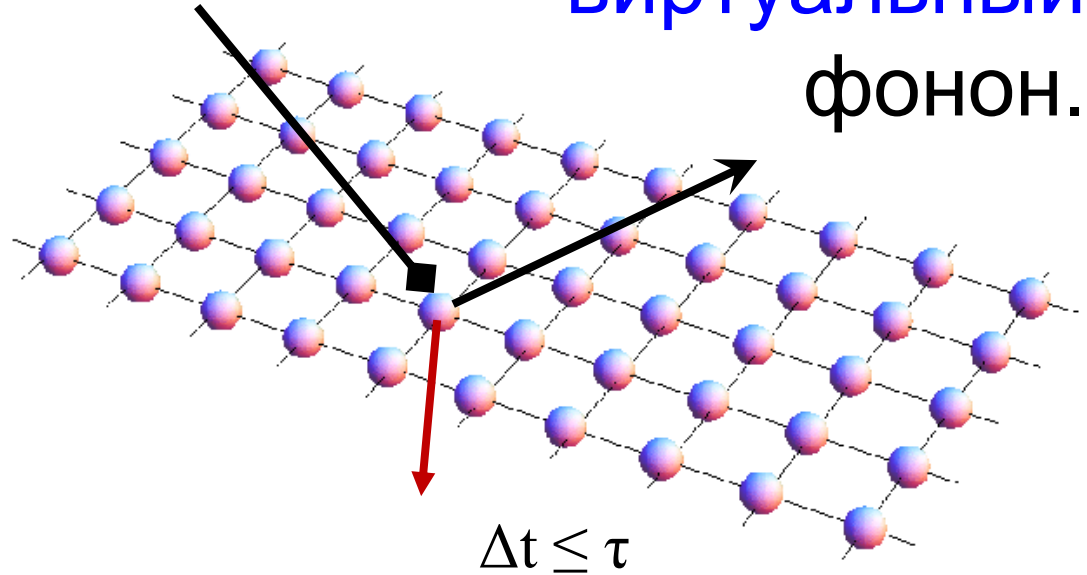
Таким образом T_c тем больше, чем больше частота фононов, т.е. дело во взаимодействии электронов проводимости и фононов, которое может приводить к притяжению между электронами.

Парное взаимодействие через виртуальный фонон.



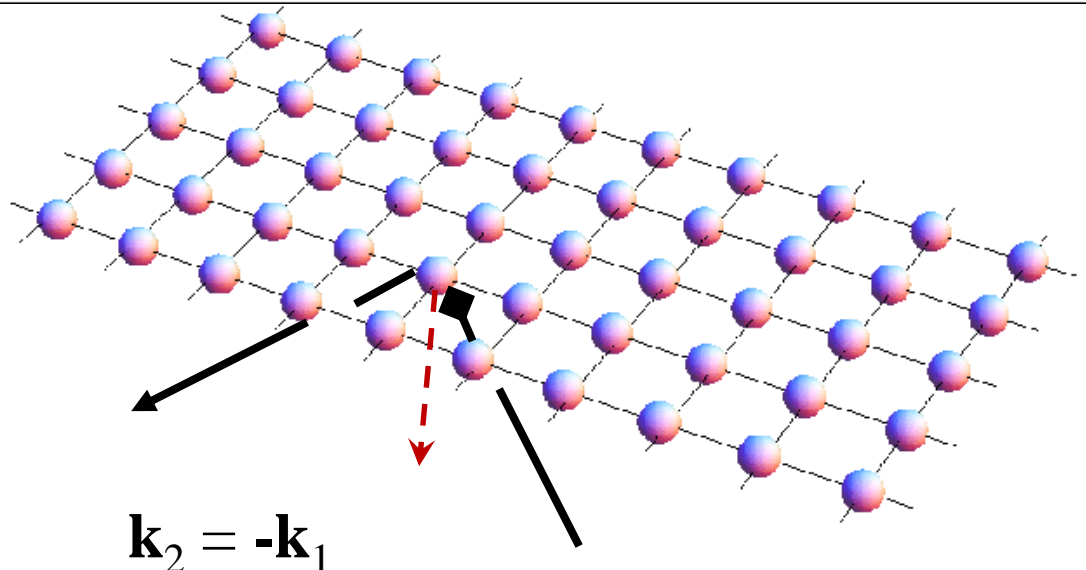
Фонон – **делокализованная** волна.

Виртуальный фонон – **локализованная** волна. (?)



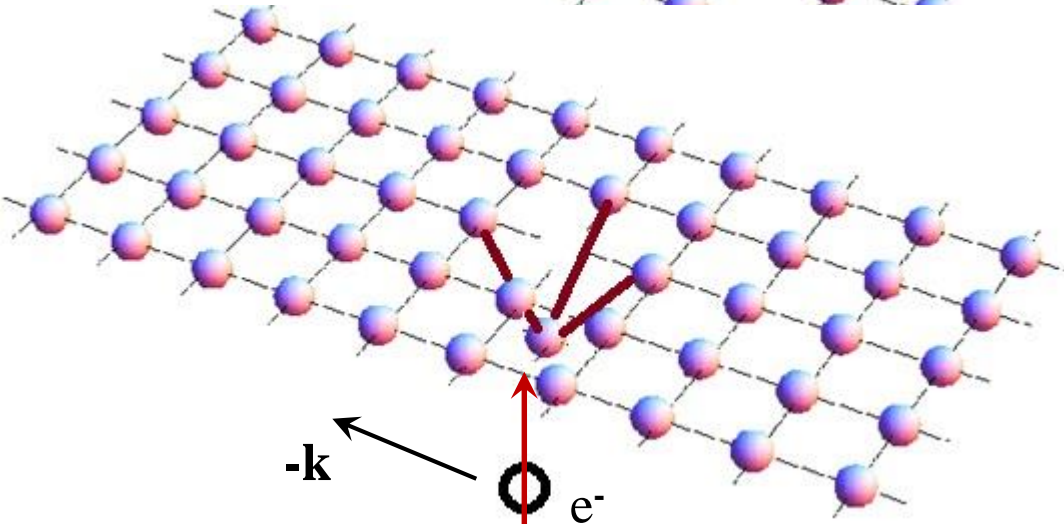
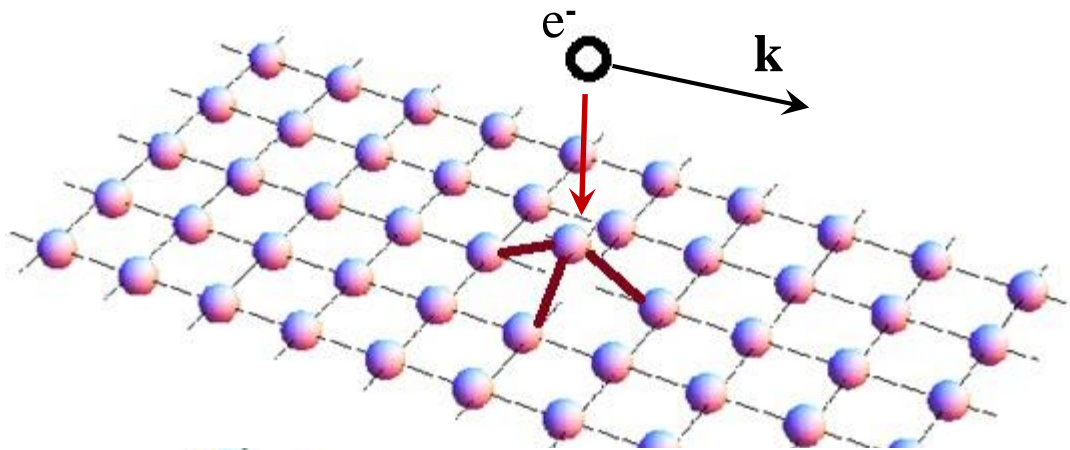
Преобразование кинетической энергии в потенциальную:

$$\tau \sim 1/4\omega_D$$

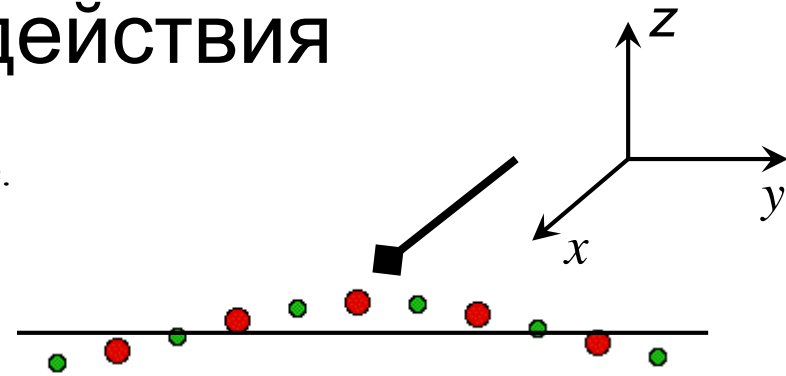


Возможные виды взаимодействия

Электроны – квазичастицы в периодическом потенциале.



$$\Delta t \geq \tau \sim 1/\omega_D$$



1. Сбой фазы в процессе упругих или *нулевых* колебаний.
2. Возбуждение поперечной моды.

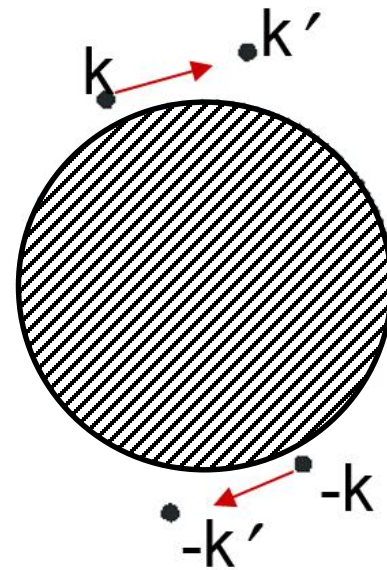
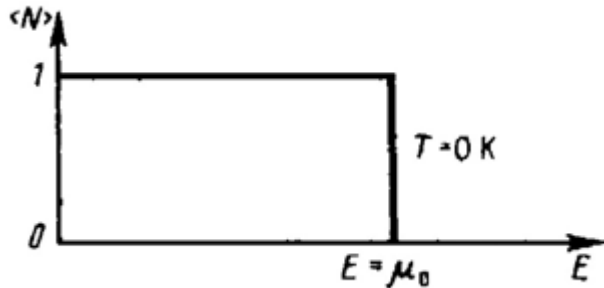
Притяжение:

1. Локальное нарушение электронейтральности.
2. Эффективное притяжение при усреднении по времени.

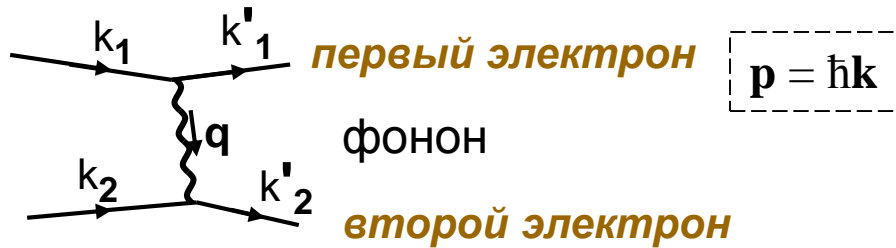
3. Слабое взаимодействие.

Тема 2

«Единичная куперовская пара при нулевой температуре»



Модельная задача: Притяжение посредством виртуальных фононов



Закон сохранения импульса:

$$\mathbf{k}_1 + \mathbf{k}_2 = \mathbf{k}'_1 + \mathbf{k}'_2;$$

$$\mathbf{k}_1 = \mathbf{k}'_1 + \mathbf{q}; \quad \mathbf{k}_2 = \mathbf{k}'_2 - \mathbf{q};$$

$E_{\mathbf{k}} = E_{\mathbf{k}}(\mathbf{k})$

$T=0$ - реальных фононов нет; испускание и поглощение фононов происходит без сохранения энергии на очень коротких временах $\Delta t < \hbar/(\Delta E)$, где Δt - время жизни виртуального фонона, а ΔE – неопределенность в разнице энергий электронов $E_{\mathbf{k}} - E_{\mathbf{k}'}$.

Рассмотрим рассеяние электрона $\psi \sim \exp(i\mathbf{k}\mathbf{r} + i\{\mathbf{E} / \hbar\}t)$ на упругой кристаллической решетке с собственной частотой ω_D . Колебания электронной плотности, связанные с переходами $\mathbf{k} \rightarrow \mathbf{k}'$ и $E_{\mathbf{k}} - E_{\mathbf{k}'}$, характеризуются частотой $\hbar\omega = (E_{\mathbf{k}} - E_{\mathbf{k}'})$;

с этой же частотой “вынуждающей силы” можно задавать колебания между двумя участками электронов через упругую среду. Уравнение такого процесса:

$$x'' + \omega_D^2 x = (f/m) \exp(i\omega t) \quad \Rightarrow \quad x = x_0 \exp(i\omega t) \quad \Rightarrow \quad x_0 = \frac{f/m}{\omega_D^2 - \omega^2}, \quad \text{т.е. колебания между}$$

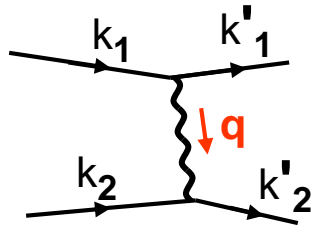
двумя участками электронов синфазны (**притяжение**) при $\omega = (E_{\mathbf{k}} - E_{\mathbf{k}'})/\hbar < \omega_D$

Импульс куперовской пары.

Ищем поправку к энергии системы, возникающую при учете парных процессов рассеяния.

$$\mathbf{k}_1 - \mathbf{k}'_1 = \mathbf{q}; \quad \mathbf{k}_2 - \mathbf{k}'_2 = -\mathbf{q};$$

$$\mathbf{k}_1 + \mathbf{k}_2 = \mathbf{k}'_1 + \mathbf{k}'_2 = \mathbf{K}$$



Какие состояния могут использоваться для перерассеяния с использованием **виртуальных** фононов?

Закон сохранения энергии

$$(E_k - E_{k'}) < \hbar \omega_D$$

$$\Delta E = (\hbar^2/2m) (k_1^2 - k'^2_1)$$

$$k_1^2 - k'^2_1 = (k_1 + k'_1)(k_1 - k'_1)$$

$$k_1 \approx k'_1 \approx k_F$$

$$\Delta E \approx (\hbar^2 k_F / m) \Delta k \quad | * k_F / k_F$$

$$T = 0$$

$$\hbar^2 k_F^2 / 2m = \varepsilon_F$$

$$k\Theta = \hbar\omega_D$$

$$\Delta E \approx 2 \varepsilon_F (\Delta k / k_F) \leq \hbar\omega_D$$

$$kT_F = \varepsilon_F$$

$$\Delta k / k_F \sim \hbar\omega_D / \varepsilon_F$$

$$\hbar\omega_D / \varepsilon_F = \Theta / T_F$$

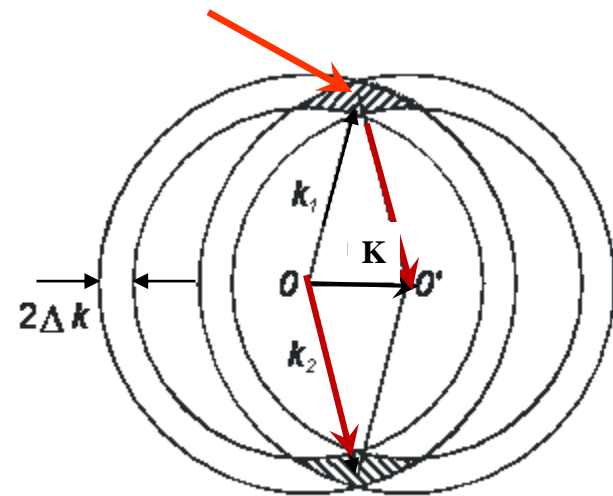
$$\Theta / T_F \sim 10^{-3} - 10^{-2}$$

Допустимые состояния лежат в кольце шириной Δk .

Узкий допустимый диапазон энергий

Области перерассеяния

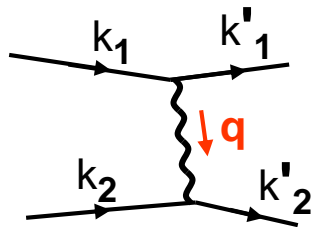
Кольцо Купера



$$-\mathbf{k}_1 - \mathbf{k}_2 = -\mathbf{K}$$

$$\mathbf{K} = 0; \quad \mathbf{k}_1 = -\mathbf{k}_2; \quad \mathbf{k}'_1 = -\mathbf{k}'_2$$

Спин куперовской пары.

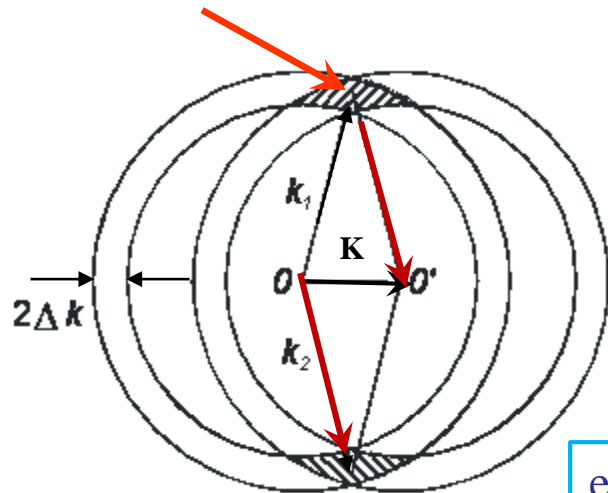


Волновая функция куперовской пары: $\Psi_{\alpha,\beta} = \psi_{\alpha,\beta}(\mathbf{r}_{\alpha,\beta})\chi_{\alpha,\beta}$

$$\Psi_1 = \psi_1(\mathbf{r}_1)\alpha$$

$$\Psi_2 = \psi_2(\mathbf{r}_2)\beta$$

Области
перерасcеяния



Симметричные соображения (перестановка):

$$\Psi_{\alpha\beta} = -\Psi_{\beta\alpha}$$

$$\Psi = \sum \Psi_{\alpha,\beta}(\mathbf{r}_{\alpha,\beta})\Psi_{\beta,\alpha}(\mathbf{r}_{\beta,\alpha})$$

$$\sim \exp(-i\mathbf{k}\mathbf{r})$$

$$S_1 = -S_2$$

$$\cos(\mathbf{k}\{\mathbf{r}_1 = \mathbf{r}_2\})$$

явлению волновыми векторами. Это позволяет рассмотреть гальную волновую функцию типа

$$\exp(\pm i\mathbf{k}\{\mathbf{r}_1 - \mathbf{r}_2\}) \quad \psi_0(\mathbf{r}_1, \mathbf{r}_2) = \sum_{\mathbf{k}} g_{\mathbf{k}} \exp(i\mathbf{k} \cdot \mathbf{r}_1) \exp(-i\mathbf{k} \cdot \mathbf{r}_2).$$

С учетом антисимметрии полной волновой функции по отношению к перестановке этих двух электронов выражение для ψ_0 преобразуется или в сумму членов $\cos \mathbf{k} \cdot (\mathbf{r}_1 - \mathbf{r}_2)$, умноженных на антисимметричные синглетные спиновые функции $(\alpha_1\beta_2 - \beta_1\alpha_2)$, или в сумму членов $\sin \mathbf{k} \cdot (\mathbf{r}_1 - \mathbf{r}_2)$, умноженных на одну из симметричных триплетных спиновых функций $(\alpha_1\alpha_2, \alpha_1\beta_2 + \beta_1\alpha_2, \beta_1\beta_2)$. В этих вы-

$$\mathbf{K} = 0;$$

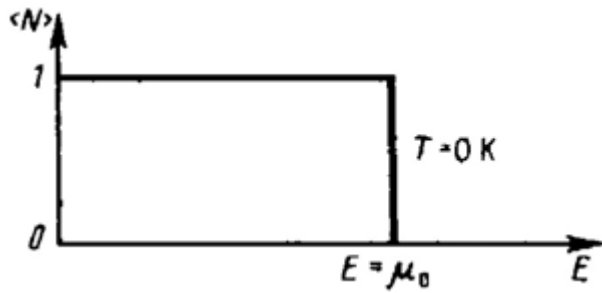
$$\mathbf{k}_1 = -\mathbf{k}_2;$$

$$\mathbf{k}'_1 = -\mathbf{k}'_2$$

$$\exp(-i\mathbf{k}_1\mathbf{r}_1) \cdot \exp(-i\mathbf{k}_2\mathbf{r}_2) = \exp(i\mathbf{k}_1\mathbf{r}_1 - i\mathbf{k}_2\mathbf{r}_2)$$

$$\exp(\pm i\mathbf{k}\{\mathbf{r}_1 - \mathbf{r}_2\}) = \cos(\mathbf{k}\{\mathbf{r}_1 - \mathbf{r}_2\}) \pm i \sin(\mathbf{k}\{\mathbf{r}_1 - \mathbf{r}_2\})$$

Задача Купера (T=0)



$$K = k_1 + k_2 = k'_1 + k'_2 = 0$$

Невозмущенное уравнение Шредингера (гамильтониан):

$$\hat{H}_{\text{kin}} \Psi_k = 2\varepsilon_k \Psi_k; \quad \varepsilon_k = \left| \frac{\hbar^2 k^2}{2m} - \frac{\hbar^2 k_F^2}{2m} \right| \approx \frac{\hbar^2 k_F}{m} |k - k_F|$$

$$\Psi_k = \exp[i\mathbf{k}(\mathbf{r}_1 - \mathbf{r}_2)] \quad ? \quad (1/\Omega) \int_{\Omega} \Psi_k \Psi_{k'} d\Omega = \delta_{kk'}$$

Включаем слабое электрон-фононное взаимодействие.

$$\hat{H} = \hat{H}_{\text{kin}} + \hat{V} \longrightarrow \Psi = \sum \mathbf{a}_k \Psi_k : \quad \mathbf{a}_k^2 \neq 0 \text{ в области } \Delta k$$

\mathbf{a}_k^2 - вероятность найти пару в состоянии \mathbf{k}

$$\Delta k \sim k_F (\hbar\omega_D/\varepsilon_F) \quad (\hat{H}_0 + \hat{V}(\mathbf{r}_1 - \mathbf{r}_2)) \Psi = E \Psi \rightarrow \hat{V}(\mathbf{r}_1 - \mathbf{r}_2) \Psi = E \Psi - \hat{H}_0 \Psi$$

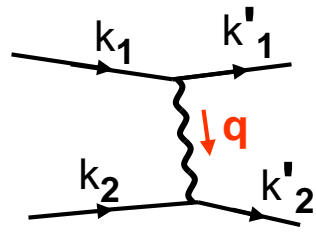
$$\hat{V}(\mathbf{r}_1 - \mathbf{r}_2) \sum \mathbf{a}_k \Psi_k = E \sum \mathbf{a}_k \Psi_k - \hat{H}_0 \sum \mathbf{a}_k \Psi_k$$

$$(1/\Omega) \int d(\mathbf{r}_1 - \mathbf{r}_2) \Psi_{k'}^* \longrightarrow \sum \mathbf{a}_k \hat{V}(\mathbf{r}_1 - \mathbf{r}_2) \Psi_k = E \sum \mathbf{a}_k \Psi_k - \sum \mathbf{a}_k 2\varepsilon_k \Psi_k$$

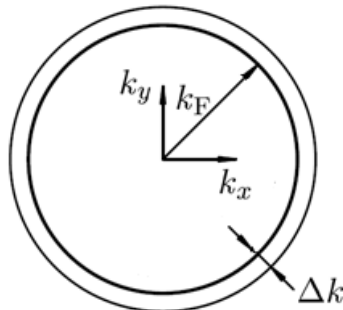
$$V_{kk'} = (1/\Omega) \int \Psi_{k'}^* \hat{V}(\mathbf{r}_1 - \mathbf{r}_2) \Psi_k d(\mathbf{r}_1 - \mathbf{r}_2)$$

амплитуда вероятности перехода $k \rightarrow k'$

$$\sum \mathbf{a}_k V_{kk'} = (E - 2\varepsilon_{k'}) \mathbf{a}_{k'}$$



$$k_{1,2} \geq k_F$$



Процедура самосогласования

$$(E - 2\varepsilon_{k'}) a_{k'} = \sum a_k V_{k'k}$$

$$(E - 2\varepsilon_k) a_k = V \sum a_{k'}$$

$$a_k = -V \sum a_{k'} / (E - 2\varepsilon_k)$$

$$V \sum a_{k'} = V \sum a_{k'} \rightarrow V \sum a_{k'} = V \sum a_k$$

$$V \sum a_{k'} = V \sum [-\sum V a_{k'} / (E - 2\varepsilon_k)]$$

$$V \sum_{k'} a_{k'} = -V^2 \sum_k \sum_{k'} \frac{a_{k'}}{E - 2\varepsilon_k};$$

Меняем порядок суммирования!

Перегруппировка!

$$\sum_{k'} a_{k'} = -V \sum_{k'} a_{k'} \left(\sum_k \frac{1}{E - 2\varepsilon_k} \right)$$

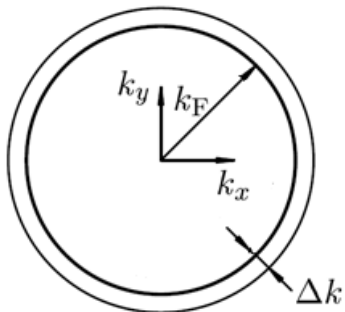
$$\sum_{k'} a_{k'} \left(1 + \sum_k \frac{V}{E - 2\varepsilon_k} \right) = 0:$$

k изменяется дискретно, но с малым шагом. \rightarrow

\rightarrow можно перейти к интегрированию

$\varepsilon_k = \varepsilon_k(|\mathbf{k}|) \rightarrow$ суммируем по энергиям.

$\varepsilon_k \approx \varepsilon_F$, число состояний в диапазоне $d\varepsilon$ постоянно: $N(0)d\varepsilon$.



Известны пределы интегрирования

$$\Delta k / k_F \sim \hbar \omega_D / \varepsilon_F \ll 1$$

Изотропное приближение:

$V_{kk'} = -V$ в области Δk ;
иначе $V_{kk'} = 0$

$$V_{kk'} = (1/\Omega) \int \Psi_k^* \hat{V}(r_1 - r_2) \Psi_{k'} d(r_1 - r_2)$$

амплитуда вероятности перехода $k \rightarrow k'$

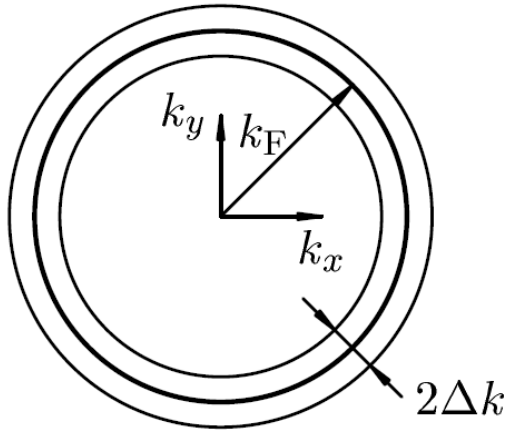
k и k' пробегают одни и те же значения!

$$\sum_k \frac{1}{E - 2\varepsilon_k} = \int_0^{\hbar \omega_D} \frac{N(0)}{E - 2\varepsilon} d\varepsilon;$$

Плотность электронных состояний.

Посчитаем количество электронных состояний в интервале энергий $d\varepsilon$ при $\varepsilon \approx \varepsilon_F$.

$(2\pi)^3$ – фазовый объем на одно электронное состояние в k -пространстве.



Импульс Ферми:

$$2 \cdot (4/3)\pi k_F^3 / (2\pi)^3 = n \quad \rightarrow \quad k_F = \{3\pi^2 n\}^{1/3}$$

Каково число состояний в интервале dk ? $2 \cdot 4\pi k^2 dk / (2\pi)^3$

Какой интервал импульса dk соответствует приращению

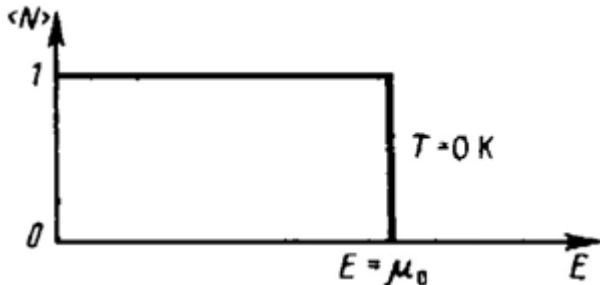
$$\varepsilon = \hbar^2 k^2 / 2m \quad \rightarrow \quad k = \sqrt{\hbar^2 \varepsilon / 2m} \quad \text{энергии } d\varepsilon?$$

$$dk \propto \frac{d\varepsilon}{\sqrt{\varepsilon}}; \quad k^2 \propto \varepsilon; \quad k^2 dk \propto \sqrt{\varepsilon}$$

Интегрирование идет
состояниям в бесконечно
тонких сферах с одинаковым $|\mathbf{k}|$

Каково число состояний в интервале $d\varepsilon$,
соответствующем интервалу dk ?

$$N(\varepsilon)d\varepsilon = (\hbar^2 / 2m)^{3/2} \pi^2 \sqrt{\varepsilon} d\varepsilon$$



$$N(0) \propto \sqrt{\varepsilon_F} \approx \text{const}(k)$$

Энергия куперовского связанного состояния

$$\sum_{k'} a_{k'} \left(1 + \sum_k \frac{V}{E - 2\varepsilon_k} \right) = 0 \longrightarrow 1 + \sum_k \frac{V}{E - 2\varepsilon_k} = 0:$$

$$\sum_k \frac{1}{E - 2\varepsilon_k} = \int_0^{\hbar\omega_D} \frac{N(0)d\varepsilon}{E - 2\varepsilon}$$

$$\int_0^{\hbar\omega_D} \frac{1}{E - 2\varepsilon} d\varepsilon = -\frac{1}{2} \ln(E - 2\varepsilon) \Big|_0^{\hbar\omega_D} = -\frac{1}{2} \ln(1 - 2\hbar\omega_D / E) = -1 / N(0)V$$

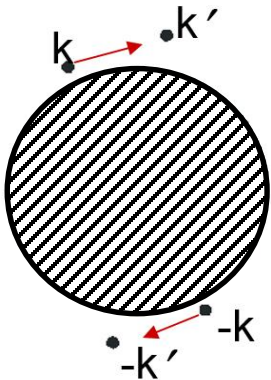
$$\exp\{+2/[N(0)V]\} = 1 - 2\hbar\omega_D/E$$

$$E = -\frac{2\hbar\omega_D}{1 + \exp(+2/N(0)V)}$$

Энергия куперовского связанного
состояния $N(0)V \ll 1$ (приближение

слабой связи!)

$$E \approx -2\hbar\omega_D \exp\left(-\frac{2}{N(0)V}\right)$$



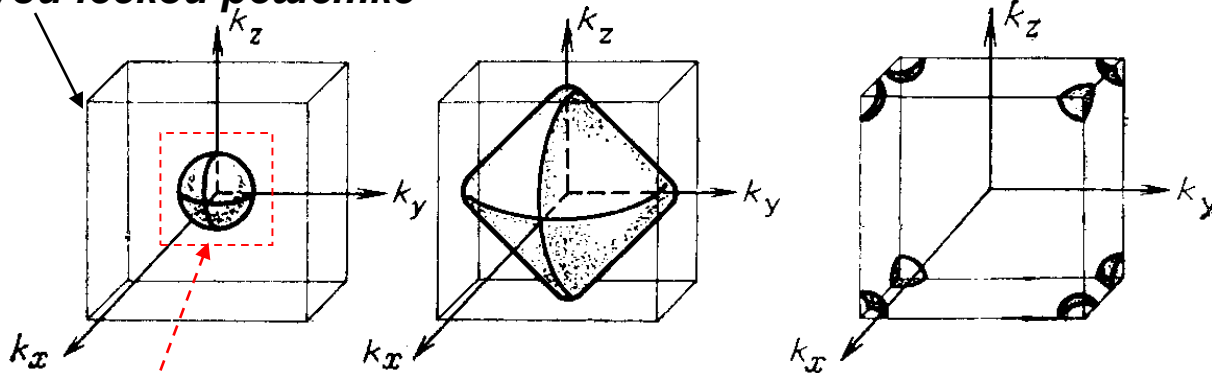
Выигрыш в энергии растет при увеличении ω_D ,
 $N(0)$ и V (приближение **сильной** связи!)

Суммарная энергия двух возбуждений (связанного
состояния) **отрицательна при любом сколь угодно
малом притяжении !**

Пространственно-неоднородное состояние

Микроскопическая теория сверхпроводимости Бардина-Купера-Шриффера (теория БКШ) создана для простейших металлов со сферической поверхностью Ферми (“сферический ферми газ”).

зона Бриллюэна
в кубической решетке



**Сферическая
поверхность
(энергия) Ферми**

**волновая функция в теории БКШ
также обладает S-симметрией:
т.е. изотропна и не зависит от
направления в k-пространстве**

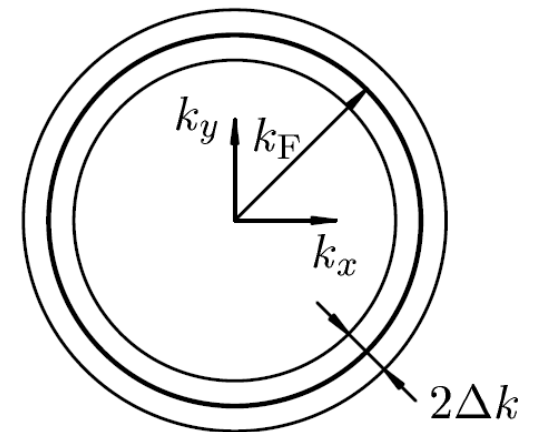
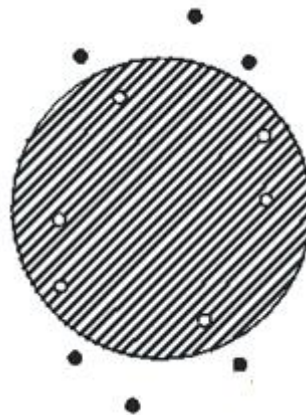
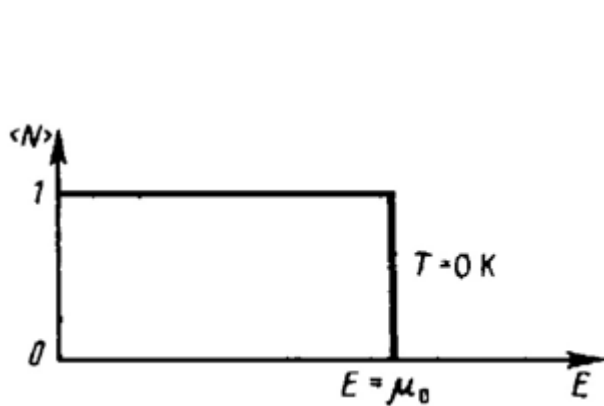
$$V = \text{const}(\theta, \varphi)$$

Теория БКШ описывает
сверхпроводники - элементарные
металлы (такие как Al, In, Sn) и не
подходит для сверхпроводящих оксидов
со сложной кристаллической
симметрией (ВТСП). Последние имеют
D-симметрию сверхпроводящей
волновой функции, т.е. волновая
функция имеет различную величину и
знак для различных направлений в
кристалле.

Перерыв?

Тема 3

«Энергия основного состояния сверхпроводника»



$$\hat{H} \Psi = E \Psi$$

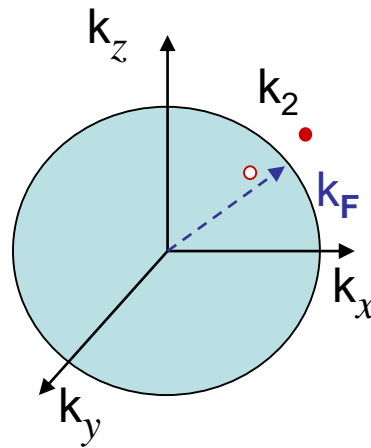
?

Электронны в металле

Электронны проводимости являются возбуждениями вырожденного ферми-газа ($T \approx 0$).

Основное состояние – сфера ферми заполнена $K = 0$ ($T = 0$).

Перенесем электрон за границу сферы:



$$\Delta E_2 = \hbar^2 k_2^2 / 2m - \hbar^2 k_1^2 / 2m =$$

$$= \hbar^2 / 2m \{ k_2^2 - k_F^2 + k_F^2 - k_1^2 \} = E_e + E_h$$

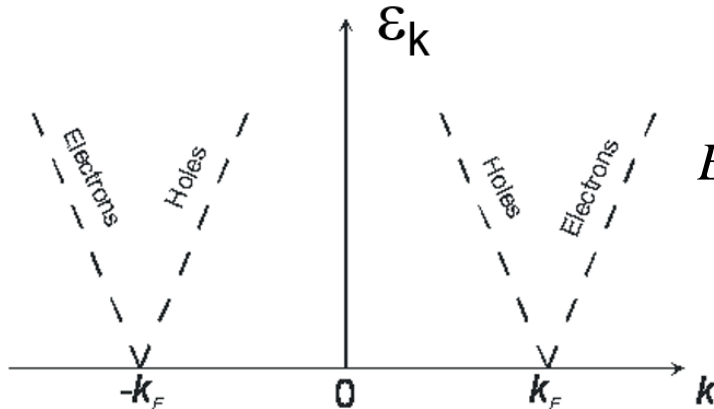
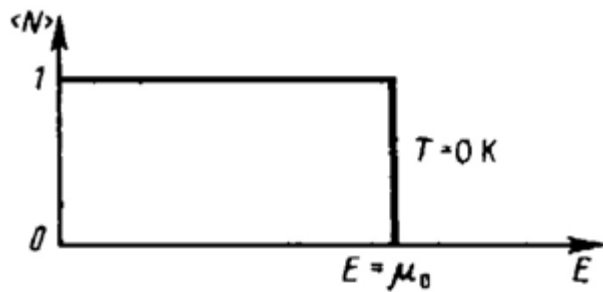
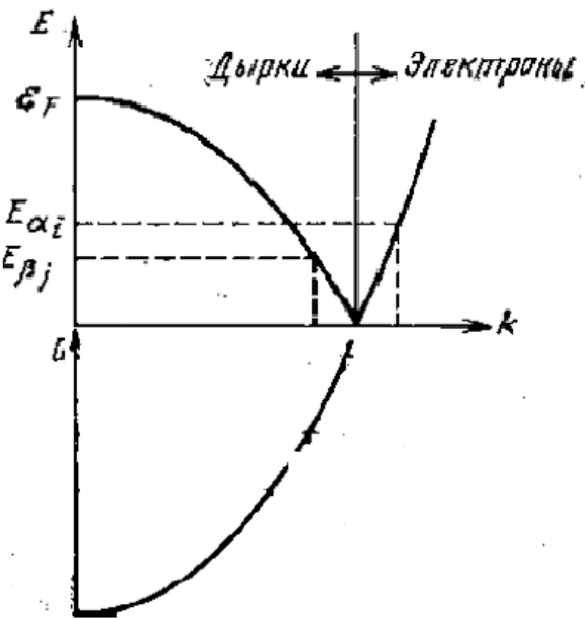
2 возбуждения.

$$E_e = \hbar^2 / 2m \{ k_2^2 - k_F^2 \} \sim (k_2 + k_F)(k_2 - k_F) \approx 2k_F \Delta k$$

$$k_{1,2} \approx k_F$$

$$E_h = \hbar^2 / 2m \{ k_F^2 - k_1^2 \} \sim (k_1 + k_F)(k_F - k_1) \approx 2|k_F \Delta k|$$

$$E = \sum_{k > k_F} f(\varepsilon, T) \varepsilon_k + \sum_{k < k_F} f(\varepsilon, T) |\varepsilon_k| \quad \boxed{= 0}$$



Квантово-механическая аналогия

Рассмотрим частицу с гамильтонианом \hat{H} в стационарном состоянии.

Исходное состояние: $\hat{H}_0 \hat{\Psi}_{1,2} = \varepsilon_{1,2} \Psi_{1,2} \int \Psi_\alpha^* \Psi_\beta = \delta_{\alpha\beta}$

$$\hat{H}\psi = E\psi$$

Введем малое возмущение \hat{V} : $\Psi = a_1 \Psi_1 + a_2 \Psi_{1,2}$

$$\hat{H} = \hat{T} + \hat{U}$$

$$(\hat{H}_0 + \hat{V})(a_1 \Psi_1 + a_2 \Psi_2) = E (a_1 \Psi_1 + a_2 \Psi_2)$$

$a_{1,2}$ – амплитуды состояний $|a_{1,2}|^2$ – вероятность реализации состояний

$$\int dV (a_1^* \Psi_1^* + a_2^* \Psi_1^*) (\hat{H}_0 + \hat{V}) (a_1 \Psi_1 + a_2 \Psi_2) = \int dV (a_1^* \Psi_1^* + a_2^* \Psi_2^*) \mathbf{E} (a_1 \Psi_1 + a_2 \Psi_2) = \mathbf{E}:$$

$$a_\alpha^* \Psi_\alpha^* \hat{H}_0 a_\beta \Psi_\beta = a_\alpha^* a_\beta \Psi_\alpha^* \varepsilon_\beta \Psi_\beta \rightarrow \varepsilon_{\beta,\alpha} a_\alpha^* a_\beta \int \Psi_\alpha^* \Psi_\beta dV = \varepsilon_\gamma |a_\gamma|^2$$

$$a_\alpha^* \Psi_\alpha^* \hat{V} a_\beta \Psi_\beta \rightarrow a_\alpha^* a_\beta V_{\alpha\beta} = a_\alpha^* a_\beta \int \Psi_\alpha^* \hat{V} \Psi_\beta dV$$

$|a_\alpha|^2 V_{\alpha\alpha}$: $V_{\alpha\alpha}$ – поправка к энергии состояний 1,2 $|a_\alpha|^2$ – вероятность состояния

$a_1^* a_2 V_{12}$: $a_1^* a_2$ – вероятность перехода V_{12}, V_{21} – энергия связи

$$\text{БКШ: } V_{12} = V_{21} = -V, \quad V_{11} = V_{22} = 0$$

$$E = \varepsilon_1 |a_1|^2 + \varepsilon_2 |a_2|^2 - (a_1^* a_2 + a_2^* a_1) V$$

Энергия основного состояния сверхпроводника I

“BCS”: Phys. Rev. **108**, 1175–1204 (1957)

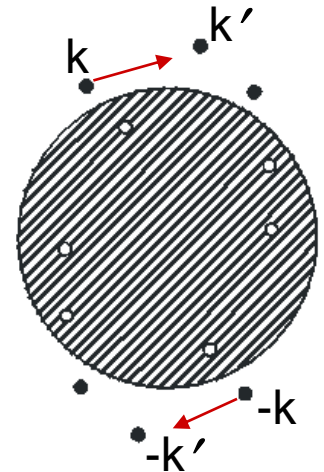
$T = 0$

Пусть теперь множество динамических электронных пар используют
одни и те же состояния $(k, -k)$!

v_k и u_k — комплексные “факторы когерентности”:

v_k^2 — вероятность того, что парное состояние $(k, -k)$
заполнено

$u_k^2 = 1 - v_k^2$ — вероятность того, что состояние $(k, -k)$
свободно



Чтобы переход $(k, -k) \leftrightarrow (k', -k')$ был возможен,
необходимо: (исходное состояние Ψ_k)

- 1) $(k, -k)$ заняты, $(k', -k')$ свободны \rightarrow Вероятность $v_k^2 u_{k'}^2$, амплитуда $v_k u_{k'}$.
- 2) $(k, -k)$ свободны, $(k', -k')$ заняты \rightarrow Вероятность $v_{k'}^2 u_k^2$, амплитуда $v_{k'} u_k$.

“Затрагиваются” 4 ячейки

$$E = \sum_{k > k_F} 2\varepsilon_k v_k^2 + \sum_{k < k_F} 2|\varepsilon_k| u_k^2 - \sum_{k, k'} V v_k u_{k'} v_{k'} u_k$$

???

Энергия основного состояния сверхпроводника III

$$E = \sum_{k > k_F} 2\varepsilon_k v_k^2 + \sum_{k < k_F} 2|\varepsilon_k| u_k^2 - \sum_{k,k'} V v_k u_{k'} v_{k'} u_k$$

$$u_k^2 = 1 - v_k^2$$

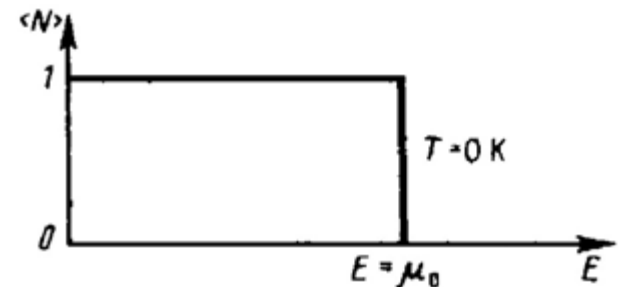
$$E_S = \sum_{k > k_F} 2\varepsilon_k v_k^2 + \sum_{k < k_F} 2|\varepsilon_k|(1 - v_k^2) - \sum_{k,k'} V v_k u_{k'} v_{k'} u_k$$

$$E_S = \sum_{k > k_F} 2\varepsilon_k v_k^2 + \sum_{k < k_F} -2|\varepsilon_k| v_k^2 + \sum_{k < k_F} 2|\varepsilon_k| - \sum_{k,k'} V v_k u_{k'} v_{k'} u_k$$

$$E_S = \sum_{-\hbar\omega_D}^{+\hbar\omega_D} 2\varepsilon_k v_k^2 - \sum_{k,k'} V v_k u_{k'} v_{k'} u_k + E_N$$

$$E_h = \hbar^2/2m \{ k_F^2 - k_2^2 \}$$

$$E_S - E_N = \sum_k 2\varepsilon_k v_k^2 - \sum_{k,k'} V v_k u_{k'} v_{k'} u_k$$



Энергия сверхпроводника и факторы когерентности

Кинетическая энергия сверхпроводника равна

$$E_S - E_N = \sum_0^{\infty} 2\varepsilon_k v_k^2 - \sum_{k,k'} V v_k u_{k'} v_{k'} u_k \quad \varepsilon_k = \left(\frac{\hbar^2 k^2}{2m} - \frac{\hbar^2 k_F^2}{2m} \right)$$

Ищем функцию v_k^2 , дающую минимум внутр. энергии.

$$u_k^2 = 1 - v_k^2$$

Критерий равновесного состояния (K – одно из состояний):

$$T = 0$$

$$\frac{\partial E_s}{\partial v_K^2} = 0;$$

$$y = v_K^2 - v_K^4$$

$$\Delta_0 = V \sum' v_k u_k$$

$$2\varepsilon_K + 2V \frac{\partial(v_K u_K)}{\partial v_K^2} \sum v_{k'} u_{k'} = 2\varepsilon_K - 2 \frac{\partial[(v_K^2)^{1/2} (1 - v_K^2)^{1/2}]}{\partial v_K^2} V \sum v_{k'} u_{k'} = 0$$

ячейка K дважды

$$\varepsilon_K - \frac{\partial[(v_K^2 - v_K^4)^{1/2}]}{\partial v_K^2} \Delta_0 = 0$$

$$\varepsilon_K = \frac{1 - 2v_K^2}{2(v_K^2 - v_K^4)^{1/2}} \Delta_0$$

Энергия сверхпроводника и факторы когерентности

$$\epsilon_K = \frac{1 - 2v_K^2}{2(v_K^2 - v_K^4)^{1/2}} \Delta_0$$

возведем в квадрат

$$2\epsilon_K \sqrt{v_K^4 - v_K^2} = \Delta_0 (1 - 2v_K^2)$$

$$4(\epsilon_K^2 + \Delta_0^2)(v_K^2 - v_K^4) = \Delta_0^2$$

$$4\epsilon_K^2(v_K^2 - v_K^4) = \Delta_0^2 - 4v_K^2\Delta_0^2 + 4v_K^4\Delta_0^2$$

Свернем

$$4\epsilon_K^2(v_K^2 - v_K^4) = \Delta_0^2 - 4\Delta_0^2(v_K^2 - v_K^4)$$

$$v_K^2 = \frac{1 \pm \sqrt{1 - 4[\Delta_0^2 / 4E_K^2]}}{2}$$

$$v_K^2 = \frac{1}{2} \left(1 - \frac{\epsilon_K}{E_K} \right)$$

Взят "-", т.к. при $\epsilon_K \rightarrow \infty$ энергия $E_K \rightarrow \epsilon_K$,

а вероятность $v_K^2 \rightarrow 0$

$$E_K^2 = \epsilon_K^2 + \Delta_0^2$$

$$E_K^2 - \Delta_0^2 = \epsilon_K^2$$

$$v_K^4 - v_K^2 + \frac{\Delta_0^2}{4(\epsilon_K^2 + \Delta_0^2)} = 0$$

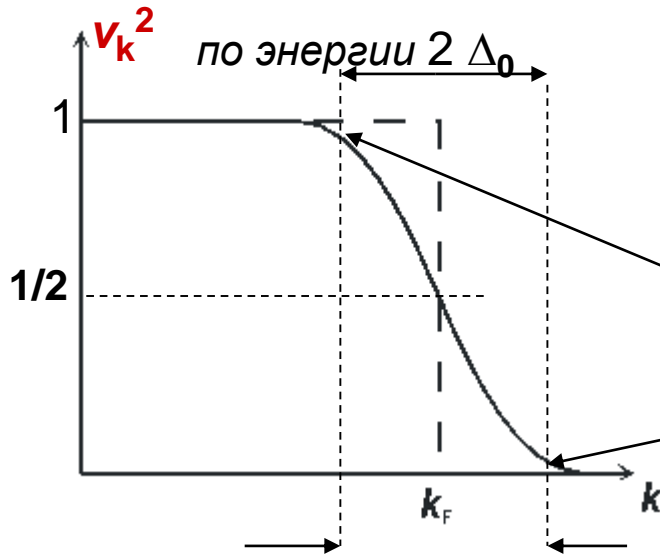
$$v_K^4 - v_K^2 + \frac{\Delta_0^2}{4E_K^2} = 0$$

$$v_K^2 = \frac{1}{2} \left(1 \pm \frac{\sqrt{E_K^2 - \Delta_0^2}}{E_K} \right)$$

$$v_K^2 = \frac{1}{2} \left(1 - \frac{(\epsilon_K / \Delta_0)}{\sqrt{(\epsilon_K / \Delta_0)^2 + 1}} \right)$$

Факторы когерентности

$$v_k^2 = \frac{1}{2} \left(1 - \frac{x}{\sqrt{x^2 + 1}} \right), \quad x = \varepsilon_k / \Delta \quad \varepsilon_k = \frac{\hbar^2}{2m} (k^2 - k_F^2) \quad u_k^2 = 1 - v_k^2$$



При $k = k_F$ $\varepsilon_k = 0$ и $v_k^2 = u_k^2 = 1/2$

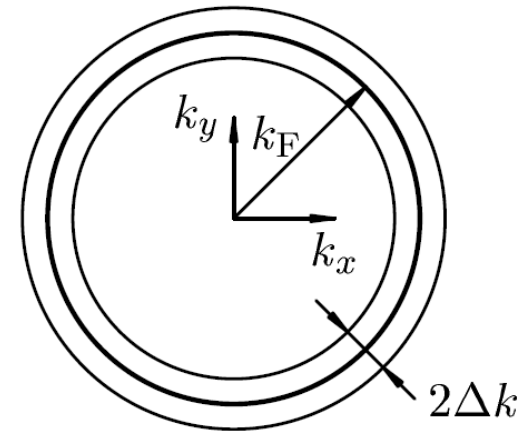
«хвосты» в интервале $\Delta k / k_F \sim \hbar \omega_D / \varepsilon_F$ (см. (9.2))

При $\varepsilon_k = \pm \Delta_0$

$$v_k^2 = (1/2)(1 \pm 1/\sqrt{2}) = (1/2)(1 \pm 0.7) = \mathbf{0.85} \text{ и } \mathbf{0.15}$$

$$\Delta k / k_F \sim 2 \Delta_0 / \varepsilon_F \leq 10^{-3}$$

В динамическом спаривании, фактически, участвуют электроны в слое $2\Delta_0$ вблизи E_F



Доля с энергиями $\sim E_F \pm \hbar \omega_D$ («хвосты») - мала

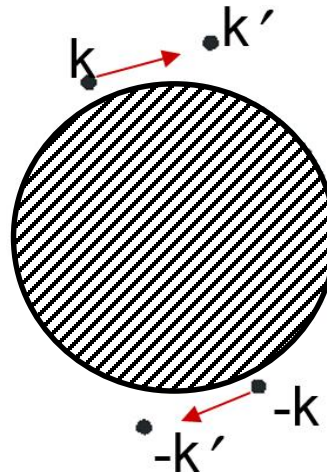
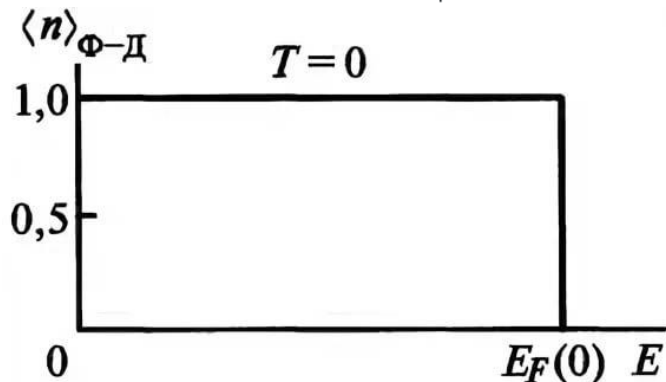
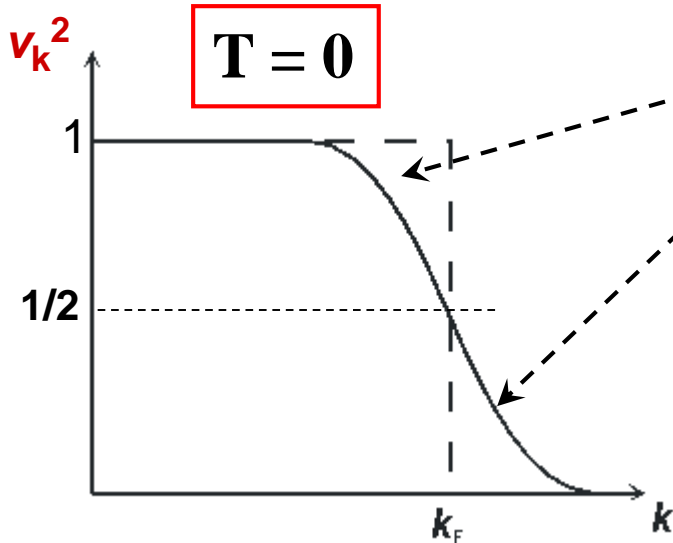
$$\varepsilon_k \approx \frac{\hbar^2 k_F}{m} \Delta k \quad \boxed{\frac{\Delta k}{k} = \frac{\Delta \varepsilon}{\varepsilon}}$$

Факторы когерентности

V_k^2 – вероятность того, что парное состояние $(\mathbf{k}, -\mathbf{k})$ **заполнено**

$$v_k^2 = \frac{1}{2} \left(1 - \frac{x}{\sqrt{x^2 + 1}} \right), \quad x = \varepsilon_k / \Delta$$

ячейки k -пространства,
используемые для
перерассеяния $k \rightarrow k'$



Распределение Ферми
«размывается» даже при $T = 0$.
Природа идет на повышение
кинетической энергии, чтобы
выиграть в потенциальной!!!

$$E = \sum_{k > k_F} 2\varepsilon_k v_k^2 + \sum_{k < k_F} 2|\varepsilon_k| u_k^2 - \sum_{k, k'} V_k u_{k'} v_k u_k$$

Конец?

Тема 4

«Спектр одночастичных возбуждений»

Вычислим параметр Δ

$$\Delta_0 = V \Sigma' \mathbf{v}_k \mathbf{u}_k = V \Sigma' [(1/2)^2 (1 - \varepsilon_k/E_k) (1 + \varepsilon_k/E_k)]^{1/2} =$$

$$= V \Sigma' [(1/2)^2 (1 - \varepsilon_k^2/E_k^2)]^{1/2} =$$

$$= (V/2) \Sigma' [(E_k^2 - \varepsilon_k^2)/E_k^2]^{1/2} = (V\Delta_0/2) \Sigma' [1/(\varepsilon_k^2 + \Delta_0^2)^{1/2}]$$

$$v_k^2 = \frac{1}{2} \left(1 - \frac{\varepsilon_k}{E_k} \right) \quad u_k^2 = \frac{1}{2} \left(1 + \frac{\varepsilon_k}{E_k} \right) \quad \boxed{E_k^2 - \varepsilon_k^2 = \Delta_0^2} \quad \boxed{E_k^2 = \varepsilon_k^2 + \Delta_0^2}$$

$$\cancel{\Delta_0} = (\cancel{V\Delta_0}/2) \Sigma' [1/(\varepsilon_k^2 + \Delta_0^2)^{1/2}] \rightarrow 1 = (V/2) \Sigma' [1/(\varepsilon_k^2 + \Delta_0^2)^{1/2}]$$

$$\frac{V}{2} \sum_{-\hbar\omega_D}^{\hbar\omega_D} (\varepsilon_k^2 + \Delta_0^2)^{-1/2} = \frac{V}{2} \int_0^{\hbar\omega_D} \frac{2N(0)}{\sqrt{\varepsilon^2 + \Delta_0^2}} d\varepsilon = N(0)V \int_0^{\hbar\omega_D} \frac{d\varepsilon}{\sqrt{\varepsilon^2 + \Delta_0^2}}$$

$dn = 2N(0)d\varepsilon$

$$\int \frac{dx}{\sqrt{x^2 + \Delta_0^2}} = \operatorname{arcsch}(x/a) + \ln a$$

Вычислим параметр Δ

$$N(0)V \int_0^{\hbar\omega_D} \frac{d\varepsilon}{\sqrt{\varepsilon^2 + \Delta_0^2}} = N(0)V \operatorname{arcsch} \frac{\varepsilon}{\Delta_0} \Big|_0^{\hbar\omega_D} = N(0)V \operatorname{arcsch} \frac{\hbar\omega_D}{\Delta_0}$$

$$\hbar\omega_D/\Delta_0 = \operatorname{sh}[1/N(0)V];$$

$$\operatorname{sh} x \rightarrow (1/2) \exp x \text{ при } x \rightarrow \infty$$

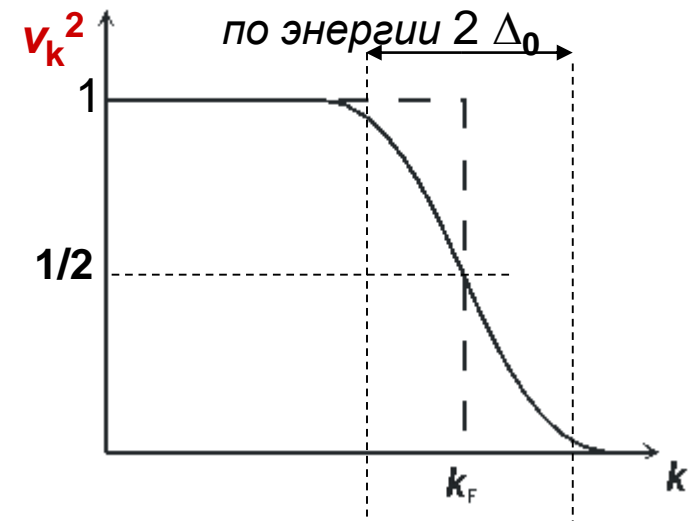
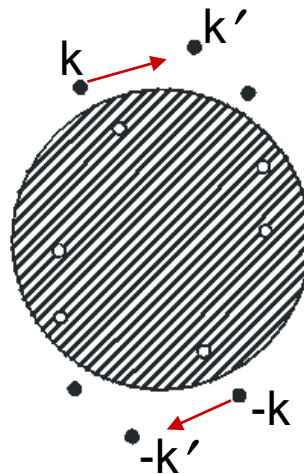
$$N(0)V \ll 1: \quad 2\hbar\omega_D/\Delta_0 = \exp[1/(N(0)V)];$$

*предел слабого
взаимодействия*

$$\Delta_0 \approx 2\hbar\omega_D \exp\left(-\frac{1}{N(0)V}\right)$$

Ср. с энергией куперовского
связанного состояния (9.3):

$$E = -2\hbar\omega_D \exp\left(-\frac{2}{N(0)V}\right)$$



Энергия сверхпроводящего основного состояния

$$E = \sum_{k > k_F} 2\varepsilon_k v_k^2 + \sum_{k < k_F} 2|\varepsilon_k| u_k^2 - \sum_{k, k'} V v_k u_{k'} v_{k'} u_k$$

$$E = \sum_{k > k_F} 2\varepsilon_k v_k^2 + \sum_{k < k_F} 2|\varepsilon_k| u_k^2 - \sum_{k, k'} V v_k u_{k'} v_{k'} u_k$$

$$E_S - E_N = \sum_{k \text{ в } \Delta k \text{ области}} 2\varepsilon_k v_k^2 - V \sum' v_k u_k v_{k'} u_{k'} \quad (9.4a), \text{ см. (9.4)}$$

$$\sum' v_k u_k V \sum' v_{k'} u_{k'} = \Delta_0 \sum' v_k u_k$$

$$E_S - E_N = \sum 2\varepsilon_k (1 - \varepsilon_k / E_k) - \Delta_0^2 / V$$

$$\sum' v_k u_k = \Delta_0 / V$$

$$E_S - E_N = 2N(0) \int_{-\hbar\omega_D}^{\hbar\omega_D} \varepsilon \left[1 - \frac{\varepsilon}{\sqrt{\varepsilon^2 + \Delta_0^2}} \right] d\varepsilon - \frac{2\Delta_0^2}{V} = 2N(0) \left[\frac{(\hbar\omega_D)^2}{2} - \int_0^{\hbar\omega_D} \frac{\varepsilon^2}{\sqrt{\varepsilon^2 + \Delta_0^2}} d\varepsilon \right] - \frac{2\Delta_0^2}{V}$$

$$\int dx x^2 / (x^2 + a^2)^{1/2} = (x/2) (x^2 + a^2)^{1/2} - (a^2/2) \operatorname{arcsinh}(x/a) - (a^2/2) \ln a$$

$$x = \varepsilon; a = \Delta_0$$

$$E_S = N(0) \{ (\hbar\omega_D)^2 - \hbar\omega_D \Delta_0 [1 + (\hbar\omega_D / \Delta_0)^2]^{1/2} + \Delta_0^2 \operatorname{arcsinh}(\hbar\omega_D / \Delta_0) \} - \Delta_0^2 / V =$$

Энергия сверхпроводящего основного состояния

$$E = \sum_{k > k_F} 2\varepsilon_k v_k^2 + \sum_{k < k_F} 2|\varepsilon_k| u_k^2 - \sum_{k, k'} V v_k u_{k'} v_{k'} u_k$$

$$v_k^2 = \frac{1}{2} \left(1 - \frac{\varepsilon_k}{E_k} \right)$$

$$u_k^2 = \frac{1}{2} \left(1 + \frac{\varepsilon_k}{E_k} \right)$$

$$E_k^2 = \varepsilon_k^2 + \Delta_0^2$$

$$E = \sum_{k > k_F} \varepsilon_k \left(1 - \frac{\varepsilon_k}{E_k} \right) + \sum_{k < k_F} |\varepsilon_k| \left(1 + \frac{\varepsilon_k}{E_k} \right) - \sum_k v_k u_k \sum_{k'} V v_{k'} u_{k'}$$

$$E = \sum_0^{\hbar\omega_D} \varepsilon_k \left(1 - \frac{\varepsilon_k}{E_k} \right) + \sum_{-\hbar\omega_D}^0 |\varepsilon_k| \left(1 - \frac{|\varepsilon_k|}{E_k} \right) - \Delta_0 \sum_{k, k'} v_k u_{k'} \quad *1 = V/V$$

$$E_k^2 - \varepsilon_k^2 = \Delta_0^2$$

$$E = 2 \sum_0^{\hbar\omega_D} \varepsilon_k \left(1 - \frac{\varepsilon_k}{E_k} \right) + \sum_{-\hbar\omega_D}^0 |\varepsilon_k| \left(1 - \frac{|\varepsilon_k|}{E_k} \right) - \frac{\Delta_0^2}{V}$$

$$E = 2 \sum_0^{\hbar\omega_D} \varepsilon_k \left(1 - \frac{\varepsilon_k}{\sqrt{\varepsilon_k^2 + \Delta_0^2}} \right) - \frac{\Delta_0^2}{V} = 2 \int_0^{\hbar\omega_D} \left(\varepsilon_k - \frac{\varepsilon_k^2}{\sqrt{\varepsilon_k^2 + \Delta_0^2}} \right) N(0) d\varepsilon_k - \frac{\Delta_0^2}{V}$$

Энергия основного состояния

$$E = 2 \int_0^{\hbar\omega_D} \left(\varepsilon_k - \frac{\varepsilon_k^2}{\sqrt{\varepsilon_k^2 + \Delta_0^2}} \right) N(0) d\varepsilon_k - \frac{\Delta_0^2}{V}$$

$$\int \{x^2 / (x^2 + a^2)^{1/2}\} dx = (x/2)(x^2 + a^2)^{1/2} - (a^2/2) \operatorname{arcsch}(x/a) - (a^2/2) \ln a$$

$$E_S = N(0) \{(\hbar\omega_D)^2 - \hbar\omega_D \Delta_0 [1 + (\hbar\omega_D / \Delta_0)^2]^{1/2} + \Delta_0^2 \operatorname{arcsch}(\hbar\omega_D / \Delta_0)\} - \Delta_0^2 / V =$$

$$\operatorname{sh}[1/(N(0)V)] = \hbar\omega_D / \Delta_0$$

$$= N(0) \Delta_0^2 \{(\hbar\omega_D / \Delta_0)^2 - (\hbar\omega_D / \Delta_0) [1 + (\hbar\omega_D / \Delta_0)^2]^{1/2}\} + N(0) \Delta_0^2 / N(0)V - \Delta_0^2 / V =$$

$$\hbar\omega_D / \Delta_0 = \operatorname{sh}(1/N(0)V) = \operatorname{sh}(X); \quad N(0) \Delta_0^2 \{ \operatorname{sh}^2(X) - \operatorname{sh}(X) [1 + \operatorname{sh}^2(X)]^{1/2} \} \\ = \operatorname{ch}(X)$$

$$\{2 \operatorname{sh}^2(X) - 2 \operatorname{sh}(X) \operatorname{ch}(X)\}^{1/2} = \{\operatorname{ch}(2X) - 1 - \operatorname{sh}(2X)\}$$

$$\operatorname{sh}^2 x = \frac{(e^x - e^{-x})^2}{4} = \frac{1}{2} \left[\frac{(e^{2x} + e^{-2x})}{2} - 1 \right] = \frac{1}{2} [\operatorname{ch}(2x) - 1]$$

Энергия сверхпроводящего основного состояния

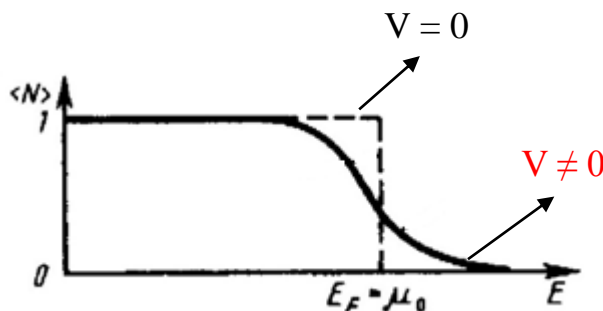
$$E_s = \frac{N(0)\Delta_0^2}{2} \left[\cancel{ch\left(\frac{2}{N(0)V}\right)} - 1 - \cancel{sh\left(\frac{2}{N(0)V}\right)} \right] = -\frac{N(0)\Delta_0^2}{2} = -\frac{N(0)\Delta_0}{2} \Delta_0$$

т.к. $2X=2/[N(0)V] \gg 1$: $sh(2X) \approx ch(2X) \approx (1/2)\exp(2X)$
 $N(0)V \ll 1$ – предел слабого взаимодействия

Простая интерпретация результата:

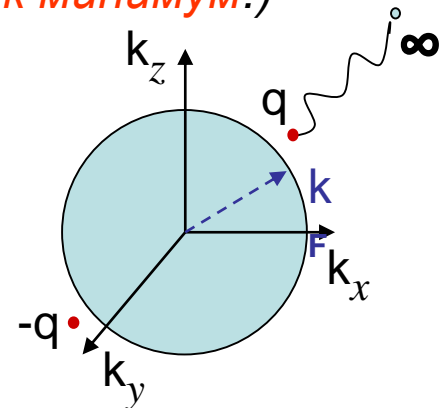
$n=N(0)\Delta_0/2$ – число электронных пар, *принимающих участие в $(k,-k) \leftrightarrow (k',-k')$ переходах*,
 Δ_0 – энергетический выигрыш от каждой пары (энергия связи).

Чтобы разорвать пару и создать одночастичное возбуждение необходимо затратить “целевую энергию” Δ_0 (*как минимум!*)



$$E_s - E_n = -\mu_0 H_{cm}^2 / 2 = -N(0) \Delta_0^2 / 2$$

$$\mu_0 H_{cm} = (\mu_0 N(0))^{1/2} \Delta_0$$



Энергия квазичастиц

$$\Delta_0 \approx 2\hbar\omega_D \exp\left(-\frac{1}{N(0)V}\right) \quad \text{см. (9.9).}$$

$$v_k^2 = \frac{1}{2} \left(1 - \frac{\varepsilon_k}{E_k}\right)$$

$$u_k^2 = \frac{1}{2} \left(1 + \frac{\varepsilon_k}{E_k}\right)$$

Определим энергию квазичастичного возбуждения

$$E_q = \sqrt{\varepsilon_q^2 + \Delta_0^2}$$

Чтобы создать квазичастицу в состоянии q (т.е. исключить q , $-q$ состояния из $(k, -k) \leftrightarrow (k', -k')$ перерассеяний) необходимо полностью заполнить одно из q или $-q$ состояний и освободить второе. Вклад в энергию от квазичастицы - $+\varepsilon_q$.

Конечное состояние

Начальное состояние

Вклад в энергию E_S отдельной пары с импульсами $q, -q$ в основном состоянии (см. (9.4a)):

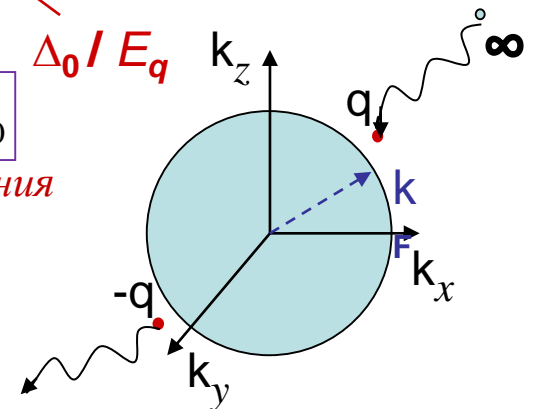
$$\begin{aligned} W_q &= 2\varepsilon_q v_q^2 - 2 \sum' v_q u_q \sum' v_k u_k = 2\varepsilon_q (1/2) (1 - \varepsilon_q / E_q) - 2[(1/4)(1 - \varepsilon_q^2 / E_q^2)]^{1/2} \Delta_0 = \\ &= \varepsilon_q - \varepsilon_q^2 / E_q - \Delta_0^2 / E_q = \varepsilon_q - \{\varepsilon_q^2 + \Delta_0^2\} / E_q = \varepsilon_q - E_q \end{aligned}$$

Энергия квазичастицы:

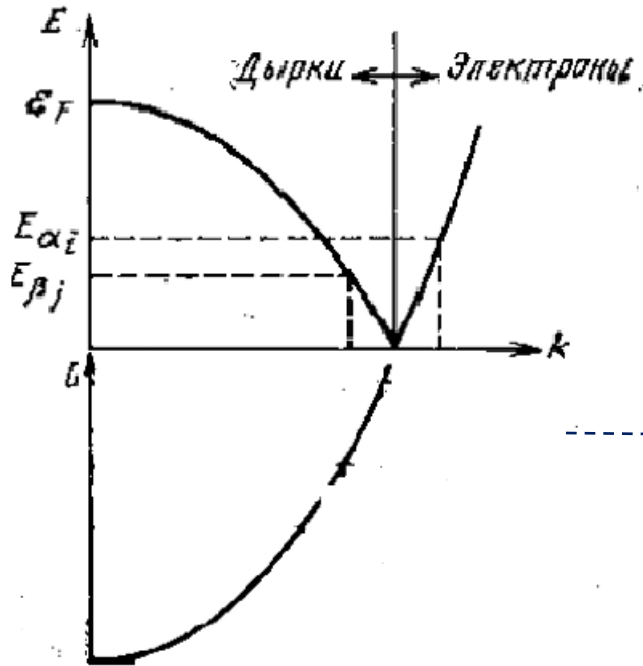
$$E_q^2 = \varepsilon_q^2 + \Delta_0^2$$

$+\varepsilon_q - W_q = \varepsilon_q - \varepsilon_q + E_q = E_q \rightarrow$ энергия квазичастичного состояния
стало было

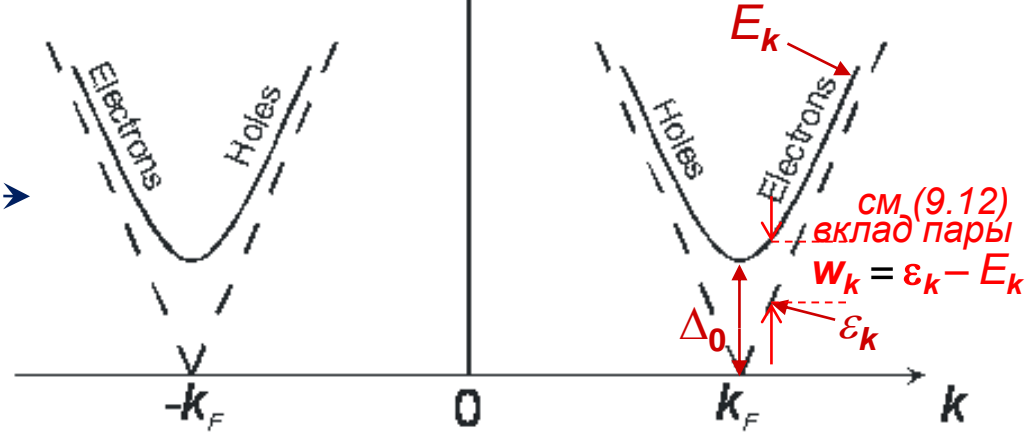
$$1 - \varepsilon_q^2 / E_q^2 = (E_q^2 - \varepsilon_q^2) / E_q^2 = (\varepsilon_q^2 + \Delta_0^2 - \varepsilon_q^2) / E_q^2 = \Delta_0^2 / E_q^2$$



Энергетическая щель



$$E_k = \sqrt{\epsilon_k^2 + \Delta_0^2}$$



$$\epsilon_k = \left| \frac{\hbar^2 k^2}{2m} - \frac{\hbar^2 k_F^2}{2m} \right| \approx \frac{\hbar^2 k_F}{m} |k - k_F|$$

$$\epsilon_e = \hbar^2/2m \{ k_2^2 - k_F^2 \} \approx (\hbar^2/2m) k_F \Delta k$$

$$\epsilon_h = \hbar^2/2m \{ k_2^2 - k_F^2 \} \approx (\hbar^2/2m) k_F \Delta k$$

$$\epsilon \approx (\hbar^2/2m) k_F / \Delta k$$

Наличие энергетической щели делает возможным сверхтекучесть электронной ферми-жидкости.

Поскольку при разрыве пары возникает два одночастичных возбуждения, наименьшая энергия распаривания равна $2\Delta_0$.

Плотность состояний квазичастиц $N(E)$

$$dn = N(E)dE$$

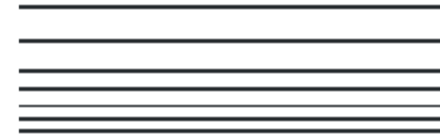
$$E_k = \sqrt{\epsilon_k^2 + \Delta_0^2}$$

$$N(E) = \frac{\partial n}{\partial E} = \frac{\partial n}{\partial \epsilon} \frac{\partial \epsilon}{\partial E} = N(0) \frac{\partial}{\partial E} \sqrt{E^2 - \Delta_0^2}$$

Расходимость при $E = \Delta$!!!

$$N(E) = N(0) \frac{E}{\sqrt{E^2 - \Delta_0^2}}$$

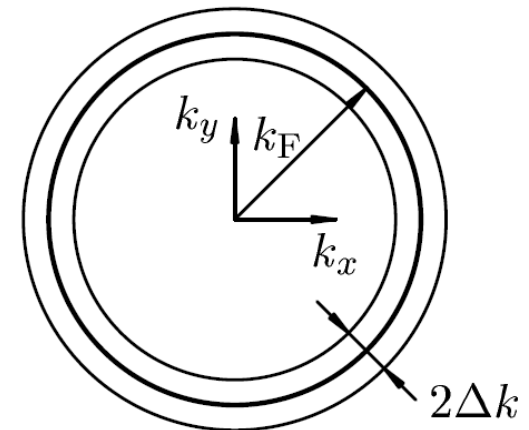
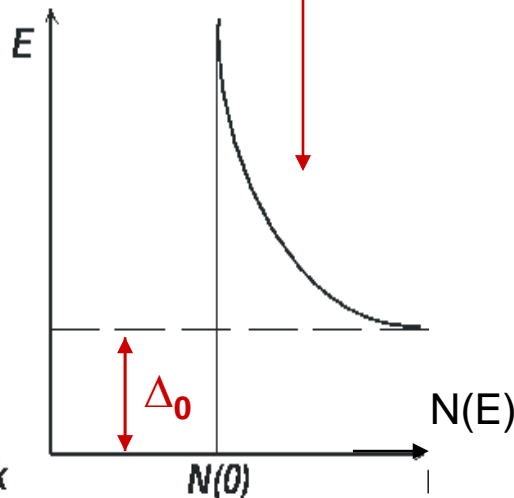
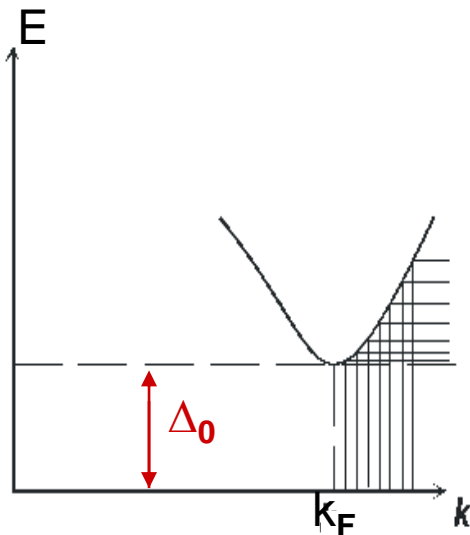
Одночастичные возбужденные состояния



elementary excitations

Δ_0

ground state
основное (парное) состояние



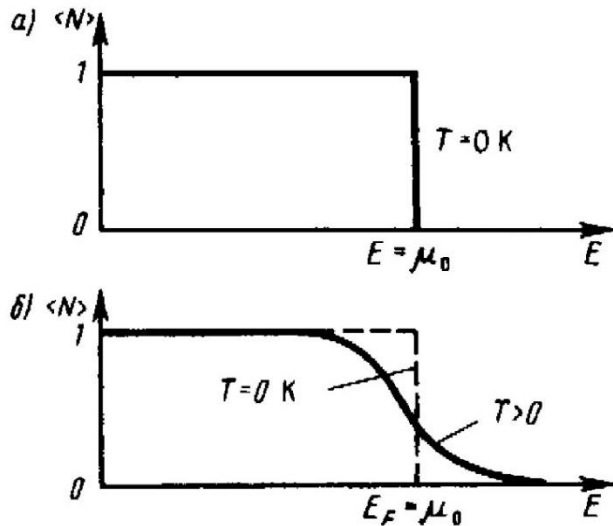
$$2 \cdot 4\pi k^2 dk / (2\pi)^3$$

$$\epsilon = \hbar k^2 / 2m \rightarrow k = \sqrt{\hbar \epsilon / 2m}$$

Тема 5
«Температурная зависимость
энергетической щели»

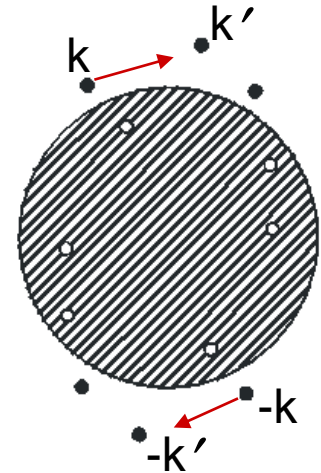
Зависимость энергетической щели от T

Температура T рождает одночастичные возбуждения за счет термоактивационных процессов.



Одночастичные возбуждения
подчиняются статистике Ферми:

$$f_k = \frac{1}{e^{\frac{E_k}{k_B T}} + 1}$$



Пара состояний k и $-k$ выбывает из процессов перерассеяния при возникновении одночастичных возбуждений либо с импульсом k либо $-k$. Таким образом, вероятность того, что парное состояние $k, -k$ **участвует** в образовании сверхпроводящего состояния при конечной температуре: $1 - 2f_k$.

$$E_S - E_N = \sum_0^{\infty} 2\varepsilon_k v_k^2 - \sum_{k,k'} V v_k u_{k'} v_{k'} u_k$$

$$E_S - E_N = \sum_0^{\infty} 2\varepsilon_k v_k^2 (1 - 2f_k) - \sum_{k,k'} V v_k u_{k'} v_{k'} u_k (1 - 2f_k) (1 - 2f_{k'})$$

Факторы когерентности и щель при $T \neq 0$

Минимизируем внутреннюю энергию сверхпроводника, чтобы найти оптимальное распределение v_k^2 при $T \neq 0$: $\partial F / \partial v_k^2 = 0$.

Было:

$$E_S - E_N = \sum_k 2\varepsilon_k v_k^2 - V \sum_{k,k'} v_k u_{k'} v_{k'} u_k$$

$$2\varepsilon_K - 2V \frac{\partial[(v_K^2)^{1/2} (1 - v_K^2)^{1/2}]}{\partial v_K^2} \sum_{k'} v_{k'} u_{k'} = 0$$

Стало:

$$E_S(T) - E_N = \sum_k 2\varepsilon_k v_k^2 (1 - 2f_k) - V \sum' v_k u_{k'} v_{k'} u_k (1 - 2f_k) (1 - 2f_{k'})$$

$$2\varepsilon_K (1 - 2f_K) - 2V \frac{\partial[(v_K^2)^{1/2} (1 - v_K^2)^{1/2}]}{\partial v_K^2} (1 - 2f_K) \sum_{k'} v_{k'} u_{k'} (1 - 2f_{k'}) = 0$$

При минимизации $E_S(T=0)$, получим выражение (см (9.5)):

(10.3), где теперь щель $\Delta(T) = V \sum' v_k u_k (1 - 2f_k)$

при $T \rightarrow 0$ щель $\Delta \rightarrow \Delta_0$, т.к. $f_k \rightarrow 0$

$$2\varepsilon_K - 2 \frac{\partial[(v_K^2)^{1/2} (1 - v_K^2)^{1/2}]}{\partial v_K^2} \Delta(T) = 0$$

Дальше можно не решать

$$\Delta(T) = V \sum' v_k u_k (1 - 2f_k)$$

Щель при $T \neq 0$

Решение ур. (10.3):

$$v_k^2 = (1/2)(1 - \varepsilon_k/E_k),$$

где теперь

$$E_k = \sqrt{\varepsilon_k^2 + \Delta^2(T)}$$

$$\text{см (9.7)} \quad u_k^2 = (1/2)(1 + \varepsilon_k/E_k)$$

определяется через $\Delta(T)$

$$\begin{aligned} \Delta_0 &= V \sum' v_k u_k = V \sum' [(1/2)^2 (1 - \varepsilon_k/E_k) (1 + \varepsilon_k/E_k)]^{1/2} = \\ &= V \sum' [(1/2)^2 (1 - \varepsilon_k^2/E_k^2)]^{1/2} = (V/2) \sum' [(E_k^2 - \varepsilon_k^2)/E_k^2]^{1/2} = \\ &= (V/2) \sum' [\Delta_0^2/E_k^2]^{1/2} = (V\Delta_0/2) \sum' [1/E_k] \end{aligned}$$

Подставляя v_k и u_k , получим (см. аналогично для $T=0$) уравнение на щель:

$$\Delta(T) = \{V\Delta(T)/2\} \sum' \{1/E_k\} (1 - 2/\{\exp(E_k/k_B T) + 1\})$$

$$1 - \frac{2}{e^x + 1} = \frac{e^x + 1 - 2}{e^x + 1} = \frac{e^x - 1}{e^x + 1} = \frac{e^{x/2}(e^{x/2} - e^{-x/2})}{e^{x/2}(e^{x/2} + e^{-x/2})} = th(x/2)$$

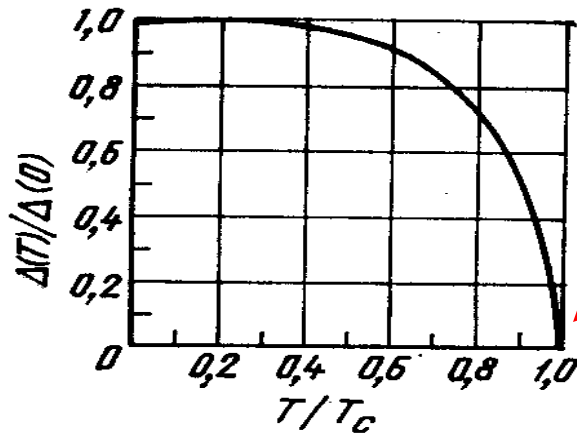
$$1 = \sum \frac{V}{2\sqrt{\varepsilon^2 + \Delta^2(T)}} th \frac{\sqrt{\varepsilon^2 + \Delta^2(T)}}{2k_B T}$$

Щель при $T \neq 0$

$$1 = \sum \frac{V}{\sqrt{\varepsilon^2 + \Delta^2(T)}} \operatorname{th} \frac{\sqrt{\varepsilon^2 + \Delta^2(T)}}{2k_B T}$$

Переходя от суммирования к интегрированию, получим:

$$\frac{1}{N(0)V} = \int_0^{\hbar\omega_D} \frac{d\varepsilon}{\sqrt{\varepsilon^2 + \Delta^2(T)}} \operatorname{th} \frac{\sqrt{\varepsilon^2 + \Delta^2(T)}}{2k_B T}$$



Вблизи T_c :

$$\Delta \sim (1 - T/T_c)$$

Это неявное выражение для температурной зависимости щели в теории БКШ.

В широкой области температур $\Delta(T)$ можно посчитать только численно (см. рис.).

$$H_{cm} = (N(0)/\mu_0)^{1/2} \Delta_0$$

$$\Delta_0 = \{\mu_0/N(0)\}^{1/2} H_{cm}$$

$$H_{cm} \sim (1 - T/T_c)$$

Есть 2 выделенные температуры, в которых интеграл берется:

$$T = 0$$

$$T = T_c$$

Связь щели Δ_0 и T_c

$$\frac{1}{N(0)V} = \int_0^{\hbar\omega_D} \frac{d\varepsilon}{\sqrt{\varepsilon^2 + \Delta^2(T)}} \operatorname{th} \frac{\sqrt{\varepsilon^2 + \Delta^2(T)}}{2k_B T}$$

При $T=T_c$ щель $\Delta(T)$ обращается в ноль и (10.5) принимает вид:

$$\frac{1}{N(0)V} = \int_0^{\hbar\omega_D} \frac{d\varepsilon}{\varepsilon} \operatorname{th} \frac{\varepsilon}{2k_B T_c} \Rightarrow \frac{1}{N(0)V} = \int_0^{x_0} \frac{dx}{x} \operatorname{th} x, \quad x = \frac{\varepsilon}{2k_B T_c}, \quad x_0 = \frac{\hbar\omega_D}{2k_B T_c}$$

интеграл при $x_0 \gg 1$,

$$\int_0^{x_0} \frac{\operatorname{th} x}{x} dx = \ln \{ 2Ax_0 \}$$

$A = 2\exp(\gamma) / \pi \approx 1,14$, γ - постоянная Эйлера

$$1/N(0)V = \ln [1.14 \hbar\omega_D / k_B T_c] \quad \text{при} \quad \hbar\omega_D \gg k_B T_c$$

$$k_B T_c = 1,14 \hbar\omega_D \exp\{-1/(N(0)V)\} \quad \rightarrow \quad k_B T_c / 1,14 = \Delta_0 / 2$$

$$\hbar\omega_D \exp\{-1/(N(0)V)\} = \Delta_0 / 2$$

*4

$$2\Delta_0 = 3,52 k_B T_c$$

$$\Delta_0 = 1,76 k_B T_c$$

$$\Delta_0 = 2\hbar\omega_D \exp\left(-\frac{1}{N(0)V}\right)$$

Экспериментальные следствия

$$k_B T_c = 1,14 \hbar \omega_D \exp\{-1/(N(0) V)\}$$

Изотопический эффект: $T_c \sim \omega_D \sim m^{-1/2}$, где m – масса изотопа

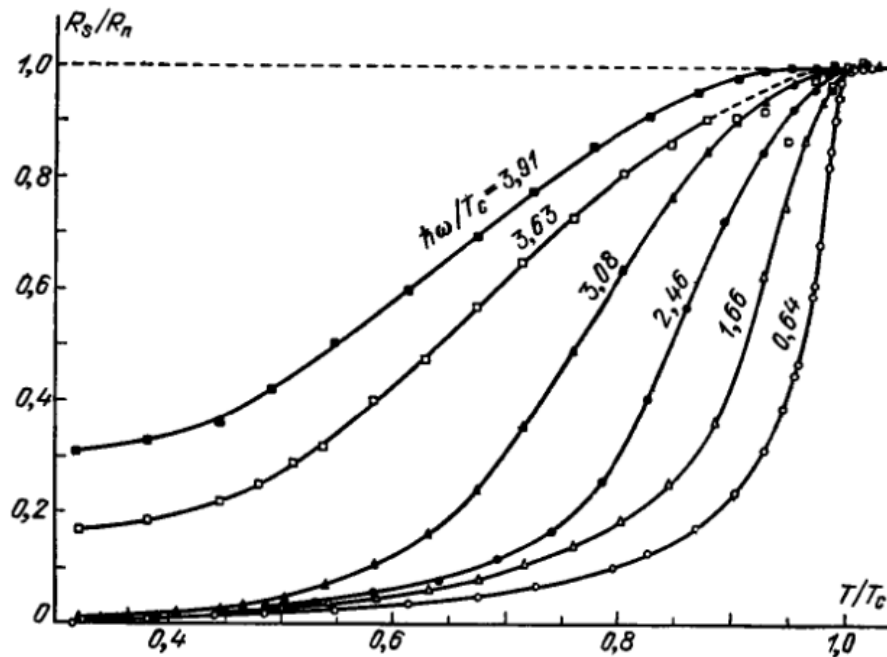
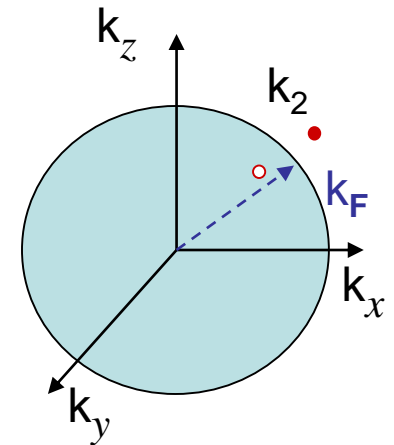
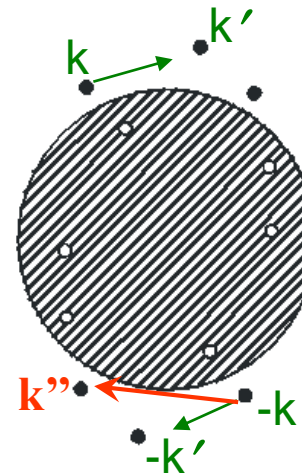


Рис. 19.4



*4

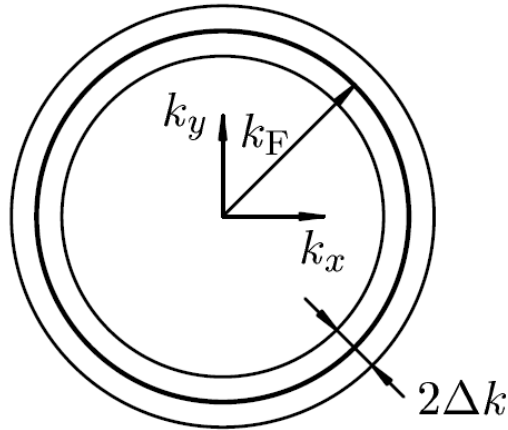
$$2\Delta_0 = 3,52 k_B T_c$$

Размер куперовской пары

Размер куперовской пары:

$$\Delta x^* \Delta p \sim \hbar \rightarrow \Delta x^* \hbar \Delta k \sim \hbar \rightarrow \Delta x^* \Delta k \sim 1$$

$\mathbf{p} = \hbar \mathbf{k}$



$$\frac{\Delta k}{k} = \frac{\Delta \varepsilon}{\varepsilon}$$

$$\Delta k = k_F \frac{\Delta \varepsilon}{\varepsilon_F}$$

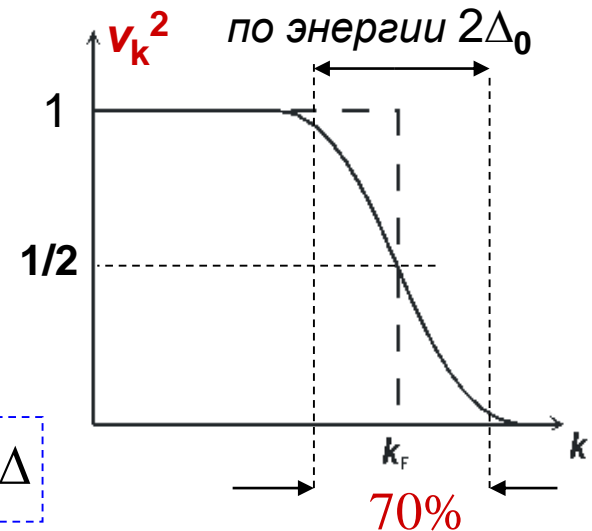
$$\Delta x = 1 / \Delta k$$

$$\varepsilon \propto k^2 \Rightarrow d\varepsilon \propto k dk$$

$$\frac{d\varepsilon}{\varepsilon} \propto \frac{k dk}{k^2} = \frac{dk}{k}$$

$$\Delta \varepsilon = 2\hbar\omega_D \quad ? \quad 2\Delta$$

$$\varepsilon \approx (\hbar^2/2m) k_F / \Delta k$$



$$2\Delta_0 = 3,52 k_B T_c$$

$$\Delta k / k_F \sim 2\Delta_0 / \varepsilon_F \leq 10^{-3} \rightarrow \Delta k \sim k_F 2\Delta_0 / \{ \hbar^2 k_F^2 / 2m \} = 4\Delta_0 / \{ \hbar \hbar k_F / m \} = 4\Delta_0 / \hbar v_F$$

Неопределенность координаты (размер пары): $\xi_0 \sim 1/\Delta k \sim \hbar v_F / 4\Delta_0 \sim \hbar v_F / (7k_B T_c)$

Точный ответ: $\xi_0 = 0.18 \hbar v_F / k_B T_c \sim 10^{-5} - 10^{-4}$ см; "объем пары" - 10^{-15} см³

Время жизни когерентных состояний

$$\Delta E \Delta t \sim \hbar$$

Образование куперовских пар – динамический процесс. Время жизни:

$$\Delta t \sim \hbar / \Delta E$$

$$\Delta E \sim \Delta_0$$

$$\Delta t \sim \hbar / \Delta$$

Размер куперовской пары: $\xi_0 \sim v_F \Delta t \sim \hbar v_F / \Delta$

совпадает!

$$\xi_0 \gg l$$

N-слой: $\Delta E \sim kT$

$$\Delta t \sim \hbar / 2\pi kT$$

$$\xi_N \sim v_F \Delta t \sim \hbar v_F / 2\pi kT$$

Влияние примесей:

$$\xi_d = \sqrt{D\Delta t} = \left(\frac{1}{3} l v_F \hbar / \Delta \right)^{1/2} \approx (l \xi_0)^{1/2}$$

$$\xi_N = (\hbar D_N / 2\pi kT)^{1/2}$$

немагнитные

Объем пары: $\xi_0 = 0.18 \hbar v_F / k_B T_c \sim 10^{-5} - 10^{-4} \text{ см}$; “объем пары”- 10^{-15} см^3 10^8 ???

$$\frac{V}{N_s} = ?$$

$$N_s = \frac{3\Delta k}{k_F} N_e = \frac{3k\Theta_D}{\varepsilon_F} 10^{23} \cong 10^{21-22} \Rightarrow$$

$$\frac{V}{N_s} = 10^{-21} \div 10^{-22} \text{ см}^{-3}$$

Много куперовских пар пересекаются (от сотен)